

العنوان:	تقييم كفاءة قاعدة البيانات المناخية العالمية POWER في رصد بيانات درجة الحرارة السطحية في مصر
المصدر:	مجلة البحث العلمي في الآداب
الناشر:	جامعة عين شمس - كلية البنات للآداب والعلوم والتربية
المؤلف الرئيسي:	بدوى، هشام داود صدقى
المجلد/العدد:	6, ج 21, ع
محكمة:	نعم
التاريخ الميلادي:	2020
الشهر:	يوليو
الصفحات:	93 - 135
رقم MD:	1086468
نوع المحتوى:	بحوث ومقالات
اللغة:	Arabic
قواعد المعلومات:	AraBase
مواضيع:	الجغرافيا الطبيعية، نظم المعلومات الجغرافية، درجات الحرارة، التغيرات المناخية، مصر
رابط:	http://search.mandumah.com/Record/1086468

تقييم كفاءة قاعدة البيانات المناخية العالمية POWER في رصد بيانات درجة الحرارة السطحية في مصر.

د/ هشام داود صدقي بدوي

مدرس الجغرافية الطبيعية – قسم الجغرافية
كلية الآداب – جامعة دمياط.

Hesham-badawy@du.edu.eg

الملخص:

تناول هذا البحث تقييم الكفاءة ودقة المطابقة لقاعدة البيانات المناخية الشبكية التابعة لوكالة ناسا لعلوم الفضاء NASA، والمعروفة بـ Prediction Of Worldwide Energy Resources (POWER) وتحتوي على خريطة العالم بدقة مكانية (0,5 دائرة عرض × 0,5 خط طول)، ودقة زمانية (ثلاث ساعات)، وذلك من خلال مقارنة بياناتها بسجلات البيانات المناخية المرصودة بواسطة محطات الأرصاد الجوية في مصر؛ تطبيقاً على عنصر درجة الحرارة السطحية، وذلك لاختبار مدى إمكانية استخدام البيانات المناخية بهذه القاعدة كمصدر مكمل للبيانات المناخية التي تتيحها محطات الرصد التقليدية، وقد طبقت هذه الدراسة على بيانات المعدلات الفصلية والسنوية لدرجة الحرارة العظمى والصغرى والمدى الحراري السنوي في (40) محطة أرصاد جوية خلال الفترة الممتدة من 1981 – 2018م، ومقارنتها ببيانات المعدلات الفصلية والسنوية لدرجة الحرارة العظمى والصغرى والمدى الحراري بقاعدة البيانات المناخية الشبكية (POWER) dataset لنفس النقطات (40) المختارة ولنفس الفترة. ومن خلال تطبيق عدد من الأساليب الكارتوغرافية والإحصائية؛ مثل: خرائط خطوط الحرارة المتساوية Isotherm maps ، ومعامل ارتباط سبيرمان Spearman's rho ، ومعامل الانحراف المعياري Standard deviation ، واختبار تحديد الاتجاه Trend detection ، ومعامل الاختلاف Coefficient of variation ، ومعامل التباين ، واختبار الصندوق Boxplot ، فقد أظهرت النتائج أن قاعدة البيانات الشبكية (POWER) dataset تميز بدقة المطابقة والتشابه مع بيانات محطات الأرصاد الجوية التقليدية، وتظهر المطابقة بشكل أدق في بيانات درجة الحرارة العظمى السطحية؛ مقارنة بدرجة الحرارة الصغرى السطحية، إضافة لبعض الاختلافات المكانية بين القاعدتين موضوع المقارنة وخاصة في شرقى مصر، ويشير ذلك إلى أن قاعدة (POWER) dataset يمكن أن تكون مصدر بيانات تكميلي فريد لمحطات الأرصاد الجوية في مصر. حيث أن مصر كباقي دول العالم الثالث؛ تعاني من توزيع متغيرة وغير متكافئ لمحطات الأرصاد الجوية التقليدية بها على المستويين الزمانى والمكانى.

الكلمات المفتاحية:

بيانات الحرارة السطحية، التحقق من البيانات المناخية، قواعد بيانات شبکية، (POWER) dataset، مصر.

1 - مقدمة:

تعد مشكلة الحصول على البيانات الخاصة بالعناصر المناخية من أكثر المشكلات التي واجهت وتواجه الباحثين لإجراء دراسات متعمقة في مجال علوم الغلاف الجوي عامة، ودراسات المناخ خاصة، بل كان ذلك سبباً في عزوف كثير من الباحثين عن الدراسات المناخية المتعمقة في مصر والوطن العربي خلال الخمسين سنة الفائتة؛ أضف إلى ذلك التعقيدات المادية والإدارية للحصول على سجلات البيانات المناخية من مصدرها الوحيد في مصر؛ مثلاً في الهيئة العامة للأرصاد الجوية، إضافة إلى التوزيع غير المتكافئ لمحطات الأرصاد الجوية في مصر على المستويين الزماني والمكاني، وتوقف الكثير منها لفترات ليست بالقليلة خلال فترات الحروب، كما هو الحال في محطات شبه جزيرة سيناء.

وقد قالت هذه الأسباب من إمكانية استخدام سجلات البيانات المناخية لمحطات الرصد الأرضية في الدراسات المناخية المتعمقة والكثيفة للبيانات، ومع ظهور الثورة التقنية والرقمية التي أحدثتها إطلاق الأقمار الصناعية العلمية منذ سبعينيات القرن العشرين، أمكن الحصول على بيانات مناخية وطقسية يمكن أن تكون مصدراً مكملاً لبيانات محطات الرصد الأرضية، وقد تطور الأمر في شكل قواعد بيانات مناخية شبكة عالمية ذات تغطية زمانية ومكانية دقيقة في بعضها مما يمكن من الاعتماد عليها.

وقد أسهمت قواعد البيانات التي أتاحتها التقنيات الحديثة في تزويد الباحثين بالكثير من المعلومات الهامة عن عناصر المناخ، مما يمكنهم من تتبعها بدقة وإجراء التحليلات العلمية اللازمة؛ حيث أن البيانات المنتجة بواسطة التقنية تتم بشكل منتظم ودوري، كما أنها تغطي مساحات واسعة من سطح الأرض أو مناطق لا تتوافر بها محطات رصد على الإطلاق، وقد سهل ذلك عمليات رصد الاختلافات الزمانية والمكانية للظواهر الجوية المختلفة، وقد أصبحت هذه البيانات بديلاً ومنافساً لقياسات الحقلية التقليدية التي تتم عن طريق محطات الرصد الأرضية، وخاصة أن كثير من الدول لا يوجد بها عدد كافٍ من هذه المحطات الأرضية، كما أن توزيعها المكاني يتسم بعدم الانتظام في مساحات كبيرة من العالم، كما أنها ليست بالدقة الزمانية والمكانية التي تناسب مع متطلبات تكوين النماذج الهيدرولوجية لسطح الأرض أو جزء منه، بسبب التقنيات والتمويل والقيود السياسية (Sheffield et Al., 2006).

وتحاول هذه الدراسة الوقوف على مدى مطابقة ومصداقية البيانات التي تتيحها قاعدة البيانات التي أطلقتها وكالة ناسا الدولية لعلوم الفضاء؛ كأحد مشروعاتها؛ والتي يرمز لها بقاعدة بيانات (POWER)، اختصاراً لـ Prediction Of Worldwide Energy Resources وذلك من خلال مقارنة بياناتها المناخية المتوفرة على موقعها على الرابط التالي: <https://power.larc.nasa.gov/data-access-viewer/> ببيانات محطات الرصد الجوية المصرية، إذ يعد التقييم لمثل هذه المشروعات أمر في غاية الأهمية للتأكد من مدى جودتها ومطابقتها وتصحيح أخطائها، مما يمكن من تعليم الاستفادة منها في كافة التخصصات المتعلقة بعلوم الغلاف الجوي، واستخدامها في الدراسات المتعمقة الخاصة بالتغييرات المناخية.

بدأ مشروع قاعدة البيانات الشبكية العالمية POWER في العام 2003م؛ اعتماداً على مشروع الأرصاد الجوية السطحية والطاقة الشمسية التابع لوكالة ناسا، وقد تضمن كماً هائلاً من البيانات المناخية، ثم أضيفت

تقييم كفاءة قاعدة البيانات المناخية العالمية POWER في رصد بيانات درجة الحرارة السطحية في مصر د. هشام داود صدقى
بعدها مجموعتين من البيانات المناخية، تمثلتا في (بيانات متعلقة بالمناخ الزراعي)، (بيانات متعلقة بالاستدامة
العمرانية)، وقد تم إدخال العديد من التحديثات على المشروع ضمن إصداراته السابع والثامن، حيث أدرجت
تقنيات نظم المعلومات الجغرافية كخيار لتمثيل البيانات المناخية بأي مكان من العالم، بالإضافة إلى إمكانية
عرض البيانات بشكل يلائم الهواتف الذكية والحواسيب الشخصية.

وتتعدد طرق الحصول على البيانات المناخية من قواعد البيانات الشبكية؛ وتمثل في: المحطات السطحية
الأرضية، والاستشعار من بعد من خلال أجهزة الرادار السطحية، والأقمار الصناعية. حيث يتم دمج بيانات
المحطات السطحية مع بيانات الاستشعار من بعد، فيما يسمى بتحليلات الدمج Combined or Merged Analysis،
والتي يتم خلالها دمج تلك المصادر سواء بيانات رصدية أرضية؛ أو أقمار صناعية ورادارات؛
أو تنبؤات، بهدف تحسين جودة المنتج النهائي من البيانات، مما يتيح استخدامها على نطاق واسع في دراسات
مراقبة المناخ والطقس والتحليلات المناخية والنماذج المناخية والدراسات الهيدرولوجية .. وغيرها (محمد
محمد عبد العال، 2018، ص 3).

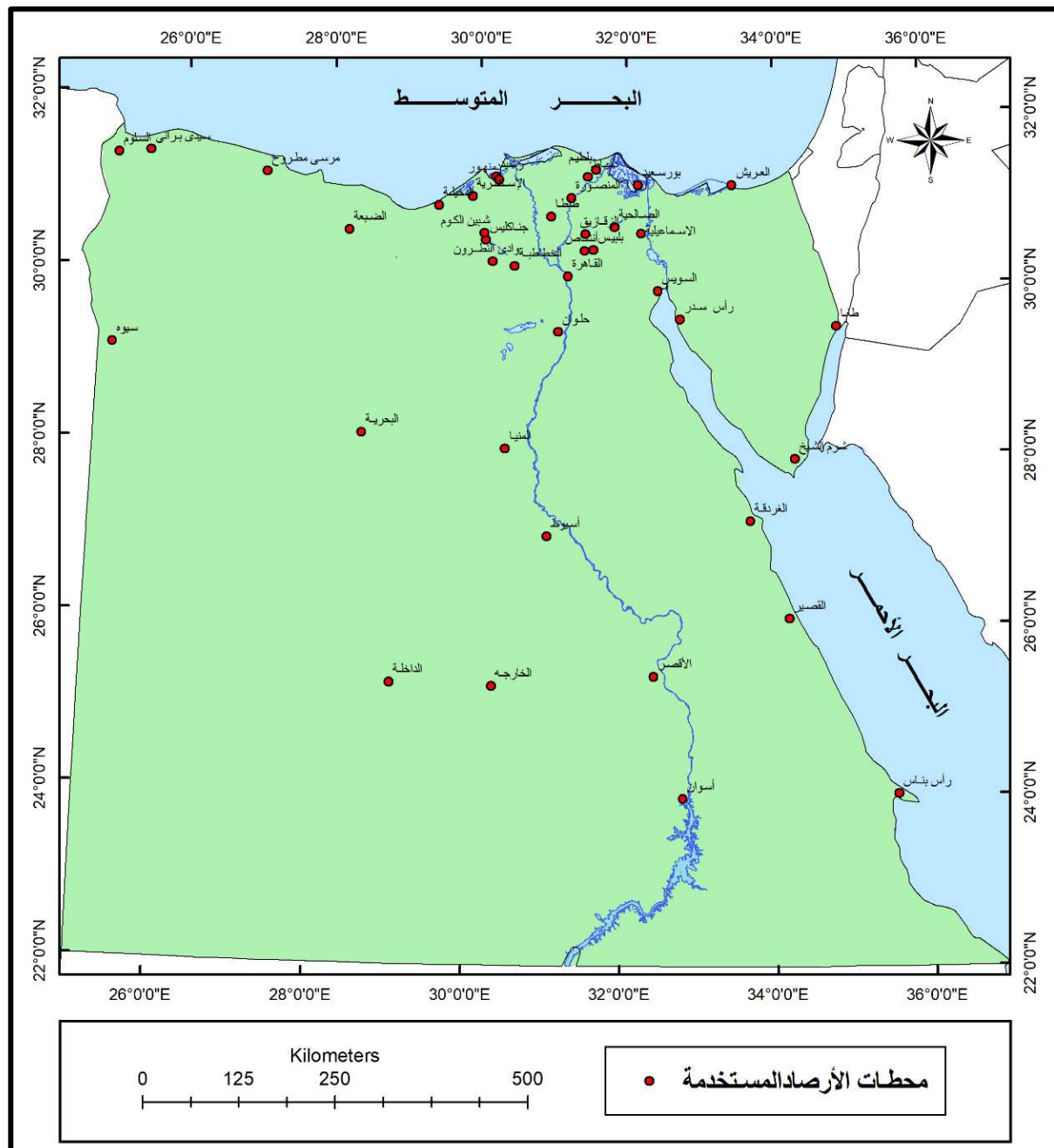
ويتم توفير البيانات المناخية في الإصدار الأخير لقاعدة بيانات (POWER) dataset في شكل شبكة
عالمية ذات دقة مكانية في شكل خلايا شبکية تغطي مساحة محددة بمقدار نصف درجة عرضية × نصف
خط طول (0,5 دائرة عرض × 0,5 خط طول)، وتعتمد بيانات المشروع على النماذج العددية المصممة
بواسطة مكتب جودارد العالمي لاستيفاء النماذج المناخية (POWER Release 8.0.1, 2018, P. 4).

وتبلغ الدقة الزمنية لبيانات المشروع (ثلاث ساعات)، ويتم الاعتماد عليها في الحصول على
المتوسطات اليومية والشهرية لكل عنصر مناخي، ومشاركة مشاريع بحثية تابعة لوكالة ناسا في توفير البيانات
ال الخاصة بالطاقة الشمسية في قاعدة البيانات محل الدراسة؛ وهي: FLASH Lux, NASA GEWEX
ASCII, CSV, Geo Json, SRB NetCDF

2 - حدود منطقة الدراسة والبيانات المناخية المستخدمة:

تمثل خريطة جمهورية مصر العربية الحدود المكانية لموضوع هذه الدراسة، حيث تقع بين دائري
عرض 22° : 36° شماليًا، وبين خطى طول 25° : 37° شرقيًا، وتبلغ مساحتها الإجمالية 1019600 كم²
وقد استند الباحث على بيانات درجات الحرارة المتاحة على قاعدة بيانات POWER ومقارنتها ببيانات
درجات الحرارة في محطات الرصد الجوية المختارة في منطقة الدراسة.

2 - قاعدة بيانات POWER (Prediction Of Worldwide Energy Resources)
هي قاعدة بيانات شاملة لعناصر المناخ، للفترة من (1981 – 2018م)، وهي أحد المشروعات التابعة
لوكالة ناسا لعلوم الفضاء؛ من خلال برنامجها لأبحاث علوم الأرض اعتماداً على البيانات المستمدة من صور
الأقمار الصناعية ودمجها بمصادر أخرى سواء بيانات رصدية أرضية أو رادارات أو تنبؤات، ويبلغ عدد
العناصر التي توفرها هذه القاعدة ومشتقاتها نحو 90 عنصراً.



المصدر: من عمل الباحث باستخدام برنامج Arc GIS 10.3 اعتماداً على بيانات الجدول (1).

شكل (1) التوزيع الجغرافي لمحطات الأرصاد الجوية المختارة.

جدول رقم (1) المحطات المستخدمة في الدراسة وبياناتها

الفترة الزمنية	البعد عن المسطحات المائية (كم)	نوع المحطة	الارتفاع (المتر)	دائرة العرض	خط الطول	رقم المحطة	اسم المحطة	م
2018 - 1981	6,8	سطحية	4	°31 32	°25 11	62300	السلوم	1
2018 - 1981	17,7	سطحية	23,61	°31 37	°25 54	62303	سيدي برانى	2
2018 - 1981	18,2	سطحية	25	°31 20	°27 13	62306	مرسى مطروح	3
2018 - 1981	57,3	سطحية	17	°30 56	°28 28	62309	الضبعة	4
2018 - 1981	13,4	سطحية	2,53	°31 88	°29 48	62316	الدخيلة	5
2018 - 1981	صفر	سطحية	3,53 -	°31 00	°29 59	62318	الإسكندرية	6
2018 - 1981	10,5	سطحية	1,7	°31 23	°30 24	62324	رشيد	7
2018 - 1981	صفر	سطحية	1	°31 33	°31 06	62325	بلطيم	8
2018 - 1981	22,2	سطحية	1,98	°31 25	°31 49	62330	دمياط	9
2018 - 1981	صفر	سطحية	1	°31 16	°32 17	62333	بور سعيد	10
2018 - 1981	صفر	سطحية	15	°31 16	°33 45	62336	العرיש	11
2018 - 1981	34	سطحية	3,47	°31 02	°30 28	62339	دمنهور	12
2018 - 1981	76,85	سطحية	9,5	°30 49	°30 12	62342	جنا كليس	13
2018 - 1981	110,3	سطحية	48,98	°30 24	°30 22	62357	وادى النطرون	14
2018 - 1981	118,4	سطحية	15,2	°30 19	°30 52	62351	الخطاطبة	15
2018 - 1981	63,2	سطحية	11,5	°30 36	°30 01	62160	شبين الكوم	16
2018 - 1981	113,1	سطحية	8,6	°30 49	°31 00	62349	طنطا	17
2018 - 1981	56,76	سطحية	3,8	°31 00	°31 27	62343	المنصورة	18
2018 - 1981	118,8	سطحية	29,77	°31 28	°30 23	62364	أنساص	19
2018 - 1981	81,7	سطحية	8	°31 30	°30 35	62354	الزقازيق	20
2018 - 1981	117,1	سطحية	29,48	°30 24	°31 35	62365	بلبيس	21
2018 - 1981	79,1	سطحية	6,5	°30 47	°32 02	62437	الصالحة	22
2018 - 1981	166,9	سطحية	64,12	°30 08	°31 24	62366	القاهرة	23
2018 - 1981	123,5	سطحية	44,2	°29 43	°31 12	62377	حلوان	24
2018 - 1981	18,2	سطحية	12,5	°30 35	°32 14	62440	الإسماعيلية	25
2018 - 1981	8	سطحية	2,5	°29 52	°32 28	62450	السويس	26
2018 - 1981	3,8	سطحية	749	°29 36	°34 47	62456	طابا	27
2018 - 1981	14,9	سطحية	3,5	°26 50	°34 20	62460	شرم الشيخ	28
2018 - 1981	4,2	سطحية	3,26	°29 36	°32 42	62455	رأس سدر	29
2018 - 1981	39,9	سطحية	1	°27 17	°33 46	62462	الغردقة	30
2018 - 1981	11,1	سطحية	8,7	°26 08	°34 18	62465	القصير	31
2018 - 1981	4,9	سطحية	3,6	°23 58	°35 30	62475	رأس بناس	32
2018 - 1981	329,1	سطحية	39	°28 05	°30 44	62387	المنيا	33
2018 - 1981	455,3	سطحية	234,7	°27 03	°31 01	62393	أسيوط	34
2018 - 1981	636,7	سطحية	93,3	°25 40	°32 42	62405	الإسكندرية	35
2018 - 1981	836,9	سطحية	200	°23 58	°32 47	62414	أسوان	36
2018 - 1981	312,7	سطحية	128	°28 20	°28 54	62420	البحرية	37
2018 - 1981	264	سطحية	15	°29 12	°25 19	62417	سيوة	38
2018 - 1981	627,2	سطحية	77,8	°25 27	°30 32	62435	الخارجية	39
2018 - 1981	613	سطحية	106	°25 29	°29 00	62432	الداخلة	40

المصدر: الهيئة العامة للأرصاد الجوية، سجلات المحطات المناخية، قسم المناخ، القاهرة.

ويتيح هذا المشروع من خلال الاختيار Single Point Data Access الوصول إلى بيانات المتوسطات اليومية للعناصر المناخية لأي نقطة على خريطة العالم، وتتنزيل البيانات الخاصة بها في ملفات جدولية بمتعددات مختلفة. كما تتيح هذه القاعدة من خلال الاختيار Regional Data Access الوصول إلى بيانات المتوسطات اليومية أو الشهرية للعناصر المناخية خلال فترة زمنية لأي مكان على سطح الأرض بحد أقصى $(4,5 \times 4,5)$ درجة عرضية وطولية بما يساوى 100 نقطة بدقة مكانية تبلغ $0,5 \text{ درجة عرضية} \times 0,5 \text{ خط طول}$ ، ويتم تنزيل البيانات في ملفات جدولية بصيغ مختلفة. كما تتيح قاعدة البيانات POWER الاختيار Global Downloads للوصول إلى بيانات مناخية لكل أنحاء العالم بدقة مكانية $0,5 \text{ درجة عرضية} \times 0,5 \text{ خط طول}$.

واستخدم الباحث الاختيار الأول Single Point Data Access، حيث تم تنزيل بيانات (40) نقطة مختارة من قاعدة بيانات POWER وهي تحمل نفس إحداثيات محطات الرصد الجوية التابعة لـ لهيئة الأرصاد الجوية المصرية وعددها (40) نقطة، وذلك حرصاً على دقة المقارنة بين مصروفتي البيانات موضوع التقييم، والبيانات على الرابط: <https://power.larc.nasa.gov/data-access-viewer/>

2 - بيانات محطات الأرصاد الجوية المصرية.

اعتمد الباحث على السجل المناخي لبيانات درجة الحرارة (العظمى والصغرى) لعدد (40) محطة أرصاد جوية، تابعة لـ لهيئة العامة للأرصاد الجوية المصرية، في الفترة الممتدة من (1981: 2018م)، وكما تم التوضيح سابقاً فإن التوزيع الجغرافي لشبكة محطات الأرصاد الجوية في مصر يتركز بشكل كبير في الوادي والدلتا والسواحل الشمالية، بينما المساحات الداخلية من مصر؛ والتي تربو عن 80% من مساحتها يقل أو يندر بها وجود محطات الأرصاد.

3 - هدف البحث.

تهدف هذه الدراسة بالأساس إلى تسلیط الضوء على دقة مطابقة ومصداقية البيانات المناخية الخاصة بدرجة الحرارة السطحية التي تتيحها قاعدة البيانات الشبكية (POWER) Dataset (Dataset التابعة لـ وكالة ناسا لعلوم الفضاء، ومدى صلاحية هذه البيانات في الاعتماد عليها في إجراء دراسات مناخية ومتغيرولوجية متعمقة مثل دراسات التغير المناخي، وذلك من خلال:

- 1 - المقارنة الإحصائية والكارتوغرافية بين بيانات درجة الحرارة المتاحة على قاعدة بيانات (POWER) وبين بيانات درجة الحرارة التي توفرها السجلات المناخية للمحطات الأرضية المختاره . Dataset
- 2 - فحص التشابه والتطابق بين نمطي بيانات درجة الحرارة الممثلين في البيانات المناخية بسجلات المناخ بالمحطات الأرضية؛ وبين البيانات الشبكية التي توفرها قاعدة البيانات محل الدراسة.
- 3 - تحديد مدى دقة وصلاحية قاعدة بيانات (POWER) Dataset في الاعتماد عليها بإتمام دراسات تفصيلية خاصة بالمناخ وعلوم الغلاف الجوي، ونشأة الجزر الحرارية على التجمعات الحضرية للمدن، ورصد موجات الحر والبرد والتغيرات المناخية .. وغيرها.

4 - أهميته الموضوع وأسباب اختيار.

تكمن أهمية موضوع هذا البحث في التقرير بدقة البيانات المناخية التي تتيحها قاعدة البيانات الشبكية العالمية POWER Dataset التي أطلقها وكالة ناسا لعلوم الفضاء من خلال منصة مخصصة لهذا الغرض على شبكة المعلومات الدولية (الإنترنت)، وذلك من خلال قياس دقة المطابقة بين بيانياتها وبيانات محطات الأرصاد الجوية التقليدية. وبعد توافر مثل هذا النوع من قواعد البيانات المناخية العالمية من الأهمية بمكانته، حيث من شأنه أن يحدث طفرة كبيرة في الدراسات والأبحاث المتعلقة بعلوم الغلاف الجوي عامة والمناخ خاصة، كما يزيل القيود المفروضة على الباحثين وخاصة في دول العالم النامي في الحصول على البيانات المناخية التفصيلية من مصدرها الوحيد سابقاً ممثلاً في هيئات الأرصاد الجوية.

أما أسباب اختيار الموضوع فتمثل في:

- صعوبة الحصول على البيانات المناخية من مصدرها الوحيد؛ وهو الهيئة العامة للأرصاد الجوية المصرية Egyptian Meteorological Authority (EMA).
- بالإضافة إلى المساهمة في حل مشكلة الحصول على البيانات المناخية التي تواجه الباحثين في علوم الغلاف الجوي.
- تسهيل الحصول على البيانات المناخية التفصيلية؛ مثل البيانات اليومية والشهرية لفترات زمنية أو مكانية كبيرة.

5 - الدراسات السابقة.

تعددت الدراسات التي اهتمت بتقدير ومقارنة قواعد البيانات المناخية العالمية ومقارنتها بالبيانات المناخية المرصودة من خلال محطات الأرصاد الجوية التقليدية، وقد ركز العديد منها على عنصر الحرارة والمطر وتغيراتهما الزمانية والمكانية، ومن أهم هذه الدراسات:

وردالة (2019) عن "التحقق من مصداقية درجات الحرارة المستخرجة من خمسة أقمار صناعية مقارنة ببيانات الحرارة السطحية المقاسة بواسطة المحطات الأرضية". ودراسة (Chukwuka F, and Esther O, 2018) عن "خريطة درجة حرارة سطح الأرض باستخدام تقنيات نظم المعلومات الجغرافية". ودراسة (محمد محمد عبد العال، 2018) عن "تقييم كفاءة بعض قواعد بيانات الأمطار الشبكية العالمية في مصر"، وقد قدم تقييمياً علمياً لمدى فعالية مجموعة مختارة من قواعد بيانات الأمطار الشبكية العالمية؛ من خلال مقارنة بيانات الأمطار في ست قواعد بيانات شبكية عالمية وهي: PRINCETON, APHRODITE, PRECL, UDEL, PCC, CRU في (44) محطة أرصاد جوية تقليدية في مصر خلال الفترة 1951 – 2006م، وقد توصلت الدراسة إلى أن قواعد بيانات PRINCETON, PCC, CRU قد استنسخت بدقة لخصائص المطر الرئيسية في مصر. ودراسة (Guillevic, P., et al , 2017) عن "التحقق من صحة درجة الحرارة السطحية – بروتوكول لأفضل الممارسات".

وردالة (2016) عنوان "التقييم والمقارنة بين عدد من قواعد البيانات الشبكية والنمذج العالمية للأمطار في المملكة العربية السعودية، المناخ والشذوذ والاتجاه خلال الفترة 1965

– 2005". دراسة (P. Dash, et al, 2016) بعنوان "الموقع الأمثل للتحقق من درجة حرارة سطح الأرض في أوروبا بواسطة متيوسات" وتوصل إلى أن البيانات المأخوذة من مستشعرات الأقمار الصناعية ومقارنتها بقياسات النقاط الأرضية لها ضوابط يجب مراعاتها، أهمها إجراء المقارنات على المناطق المجاورة من أجل التحقق النهائي من صحة قياسات الأقمار الصناعية.

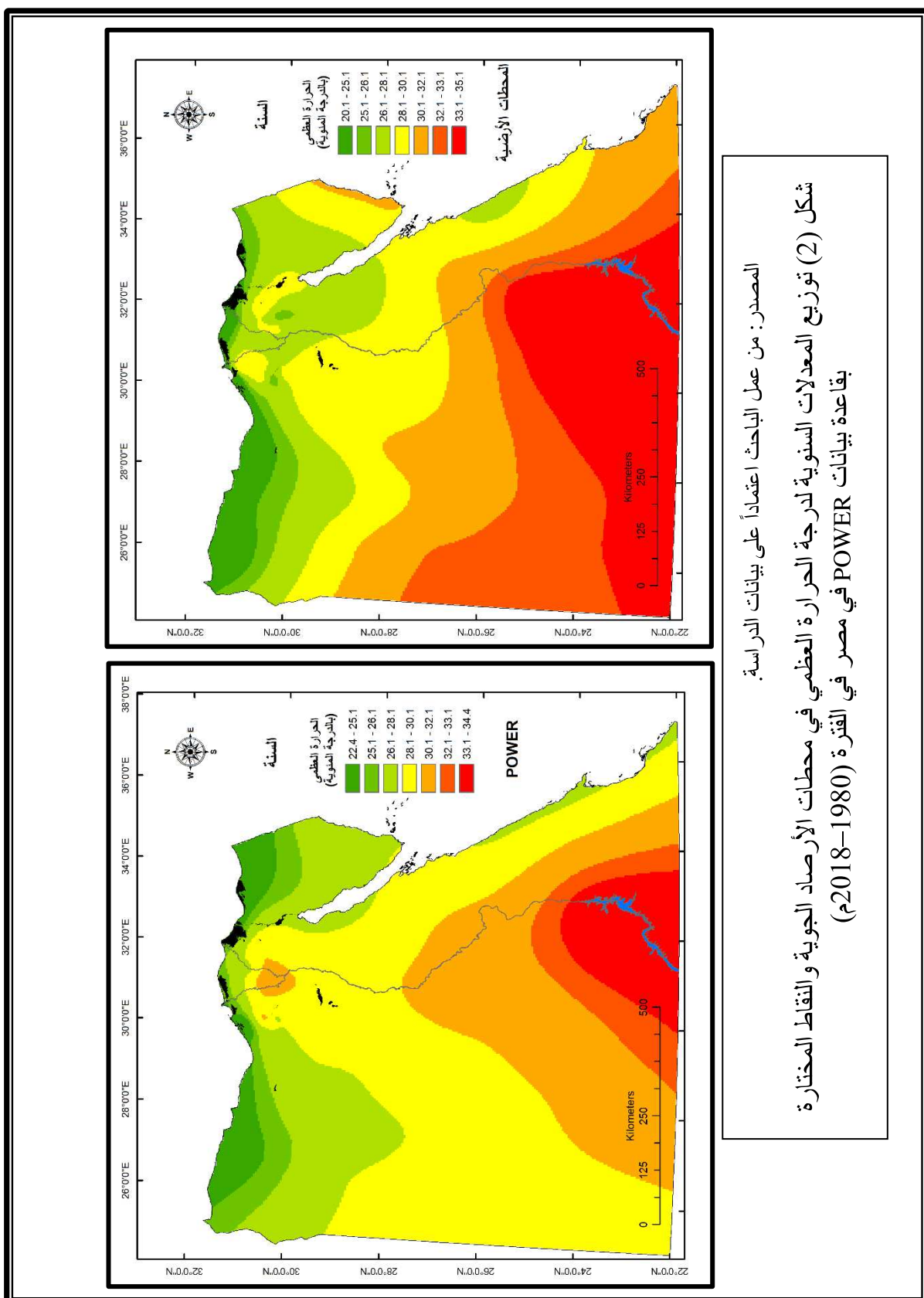
دراسة (Mohamed E, Hereher, 2016) بعنوان "اتجاهات السلسل الزمنية لدرجات حرارة سطح الأرض في مصر كإشارة للاحتيار العالمي"، وقد توصلت هذه الدراسة إلى أدلة على حدوث تغيرات مناخية خطيرة في مصر، وقد اعتمدت الدراسة على صور لأقمار صناعية بين عامي 2003:2014م باجمالي 276 صورة، وتشير تحليلات الاتجاه العام إلى زيادة درجة حرارة سطح الأرض بمقدار 0,3 إلى 1,06 درجة مئوية. دراسة (Bo-Hui Tang., et al, 2015) عن "تقدير درجات حرارة سطح الأرض اعتماداً على بيانات الجيل الثاني للقمر الصناعي الصيني .Polar-Orbit FY-3A VIRR

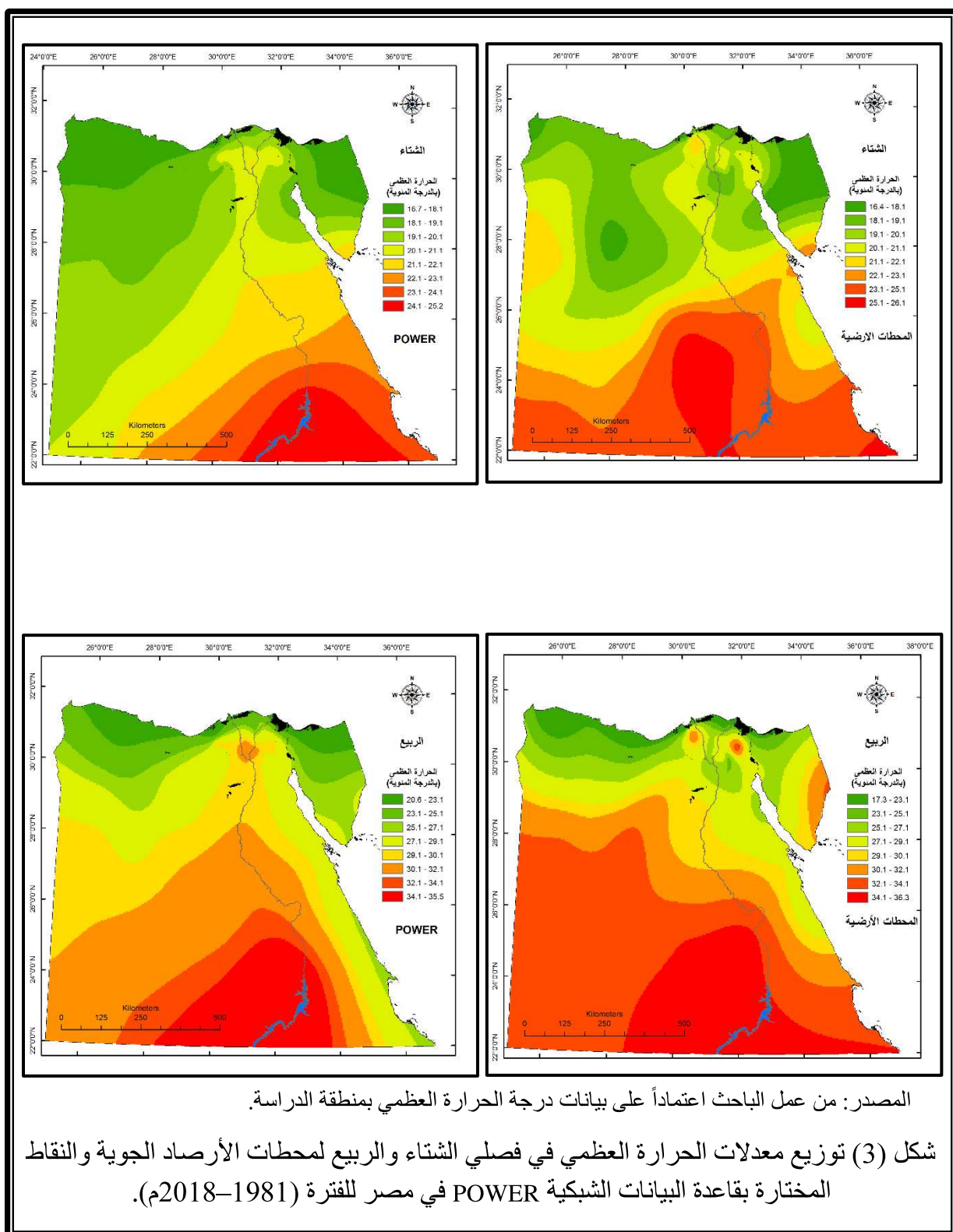
ودراسة (D. Skoković., et al, 2014) عن "المعايير والتحقق من درجة الحرارة السطحية بواسطة مستشعرات لاندسات 8 وتيرس". دراسة (Marcel U., et al, 2013) وتناولت فيها "المقارنة بين درجات حرارة سطح الأرض ودرجة حرارة الهواء المشتقة بواسطة الأقمار الصناعية والمأخوذة من المحطات المتلقيولوجية في القطب الشمالي". دراسة (David. J., et al, 2011) بعنوان "مقارنة عالمية بين درجات حرارة الهواء في المحطات الأرضية وبيانات القمر الصناعي MODIS مع الإشارة لدور الغابات في التبريد"، وقدمت هذه الدراسة تحليلاً للعلاقة بين درجة الحرارة العظمى السنوية المستنيرة بواسطة صور المستشعر موديس ودرجة الحرارة العظمى السطحية لكل محطة من محطات المنظمة العالمية للأرصاد الجوية، وقد لوحظ وجود ارتباط إيجابي قوى بينهما، وقد رصدت الدراسة تحليل هذه العلاقة بين ذات المتغيرين في أنواع مختلفة من الغطاءات الأرضية. دراسة (Glynn C. Hulley, et al, 2011) عن "تقدير أوجه عدم اليقين لدرجات حرارة سطح الأرض اعتماداً على انبعاثات الأشعة تحت الحمراء بواسطة الأقمار أستر وموديس". دراسة (Maria Martin., et al, 2007) عن "التحقق من صحة درجات الحرارة السطحية باستخدام الأقمار الصناعية لفترات طويلة الأمد عبر محطات متعددة". دراسة (Nicholas C., et al, 2007) عن "تقدير درجات الحرارة السطحية بعد الظهر اعتماداً على بيانات القمر الصناعي موديس والموقع والارتفاع".

6 - المناقشات والنتائج.

6 – 1 - تقييم كفاءة درجة الحرارة العظمى.

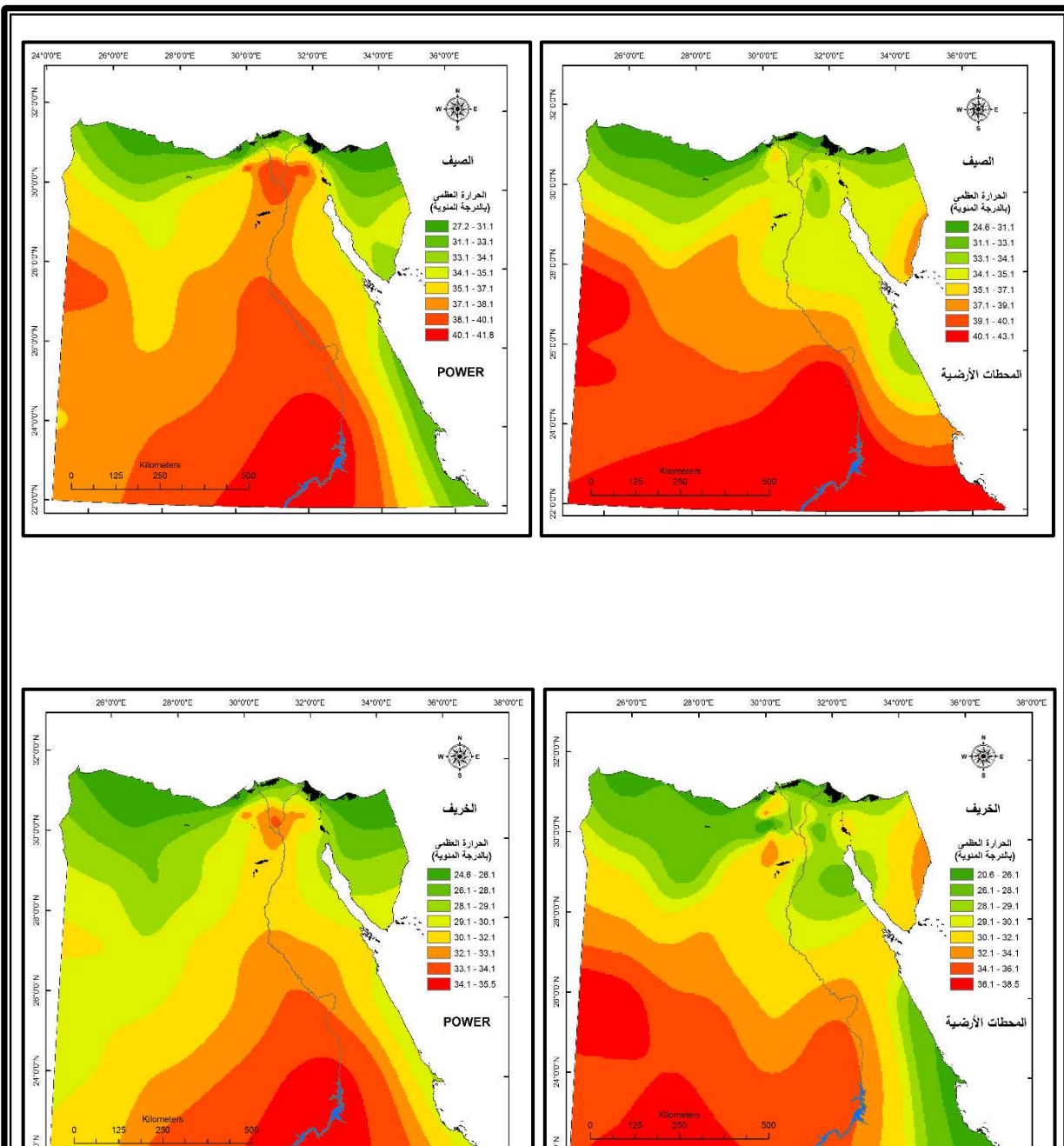
بعد تقييم كفاءة قاعدة البيانات المناخية Dataset (POWER) أمرأً مهماً للوقوف على مدى صلاحيتها في الاعتماد على بياناتها في التطبيقات المختلفة؛ أو استخدامها كمصدر مكمل لبيانات الرصد الأرضي، ويمكن تقييم ذلك من خلال تطبيق بعض الأساليب الكرتوجرافية والإحصائية لمقارنتها ببيانات درجة الحرارة المرصودة بواسطة محطات الأرصاد الجوية التقليدية. وتوضح الأشكال (2) و (3) و (4) توزيع المعدلات السنوية والفصلية لدرجة الحرارة العظمى في محطات الأرصاد الجوية المختارة؛ والنقط المختارة بقاعدة البيانات (POWER) Dataset، وبالنسبة للمعدلات السنوية فيلاحظ أن درجات الحرارة العظمى تتزايد في





المصدر: من عمل الباحث اعتماداً على بيانات درجة الحرارة العظمى بمنطقة الدراسة.

شكل (3) توزيع معدلات الحرارة العظمى في فصلي الشتاء والربيع لمحطات الأرصاد الجوية وال نقاط المختارة بقاعدة البيانات الشبكية POWER في مصر للفترة (1981-2018م).



المصدر: من عمل الباحث اعتماداً على بيانات الحرارة العظمى بمنطقة الدراسة.

شكل (4) توزيع معدلات الحرارة العظمى في فصلي الصيف والخريف لمحطات الأرصاد الجوية وال نقاط المختارة بقاعدة البيانات الشبكية POWER بمصر في الفترة (1981-2018).

القاعدتين أيضاً في توزيع الحرارة العظمي في المنطقة المحيطة بأسوان وبحيرة السد العالي. ويوجد بعض الاختلافات في التوزيع في الخريطتين بالشكل (3)، في الخريطة المتعلقة بالمحطات الأرضية ترکز كلا الخريطتين بالاتجاه من الشمال إلى الجنوب، كما نجد أن خط الحرارة المتساوي 25°C يمتد في شمالي مصر في كليهما؛ وإن كان أكثر امتداداً نحو الجنوب في سيناء بالنسبة لقاعدة البيانات Dataset (POWER)، أما بالنسبة لخط الحرارة المتساوي 28°C فنرصد تباعناً طفيفاً بين الخريطتين؛ في الخريطة المتعلقة بمحطات الأرصاد التقليدية؛ يمر هذا الخط جنوبى الدلتا ليشملها بكاملها؛ بما في ذلك القاهرة وخليج السويس حتى منتصفه، أما في الخريطة الممثلة لبيانات قاعدة بيانات Dataset (POWER)، فإن نفس الخط ينحصر شمالاً ليمر بمنتصف الدلتا تقريباً وإلى الشمال من خليج السويس، ويتشابه توزيع باقي الخطوط المتساوية ($30,1^{\circ}\text{C}$) و ($32,1^{\circ}\text{C}$) و (34°C) في وسط وجنوب الصعيد وكذلك ساحل البحر الأحمر في كلا القاعدتين.

أما بالنسبة لمدى التشابه والاختلاف في التوزيع الجغرافي لبيانات درجة الحرارة العظمي على مستوى فصول السنة في قاعدتي البيانات محل المقارنة، فمن تحليل الشكل (3) يتبين أن الخرائط المتعلقة بتوزيع درجة الحرارة العظمي في فصل الربيع في قاعدتي البيانات محل الدراسة تعد الأكثر تشابهاً، فخط الحرارة العظمي المتساوي $23,1^{\circ}\text{C}$ يمر بكل الخريطتين في أقصى شمال الدلتا والصحراء الغربية وشبه جزيرة سيناء، كما تتشابه قاعدتي البيانات في توزيع درجة الحرارة العظمي بالأجزاء الوسطى والجنوبية من مصر، ويشمل ذلك ساحل البحر الأحمر ووسط وجنوب الصعيد والصحراء الشرقية والغربية، كما تتشابه جزيرتين حاريتين إحداهما في شرق الدلتا والثانية في غربها، في حين أن الخريطة المتعلقة بقاعدة البيانات الشبكية POWER تتكون فيها جزيرة حرارية علي القاهرة وجنوب الدلتا، كما تختلف القاعدتين أيضاً في الساحل الغربي لخليج العقبة؛ فالأولي يمر بها خط التساوي $32,1^{\circ}\text{C}$ ، والثانية يمر بها خط التساوي $28,1^{\circ}\text{C}$.

وفي فصل الصيف، كما يتضح من الشكل (4)، تتشابه قاعدتي البيانات المدروستين في مرور خط الحرارة العظمي المتساوي بأطراف الدلتا الشمالية وأطراف الساحل الشمالي الغربي والإسكندرية وشمال سيناء، كما تتشابهان إلى حد كبير في وسط وجنوب مصر بما في ذلك وادي النيل والصحراء الشرقية والغربية. بينما تختلف القاعدتين في امتداد خط الحرارة المتساوي Isotherm الذي يمر بالساحل الغربي لخليج السويس في الخريطة الممثلة للمحطات الأرضية ($37,1^{\circ}\text{C}$)، بينما يمر بنفس المنطقة خط الحرارة المتساوي (34°C) في الخريطة الممثلة لقاعدة البيانات POWER. وفي فصل الخريف، فيظهر من الشكل (4)، تشابه قاعدتي البيانات المدروستين في مرور خط لحرارة العظمي ($28,1^{\circ}\text{C}$) بأطراف الدلتا الشمالية وأطراف الساحل الشمالي الغربي والإسكندرية، كما تتشابهان إلى حد كبير في تكون الجزر الحرارية علي جنوب وغرب الدلتا ($32,1^{\circ}\text{C}$). بينما يبدو الاختلاف واضحاً بين القاعدتين في شبه جزيرة سيناء كما هو الحال في منطقة الساحل الغربي لخليج العقبة.

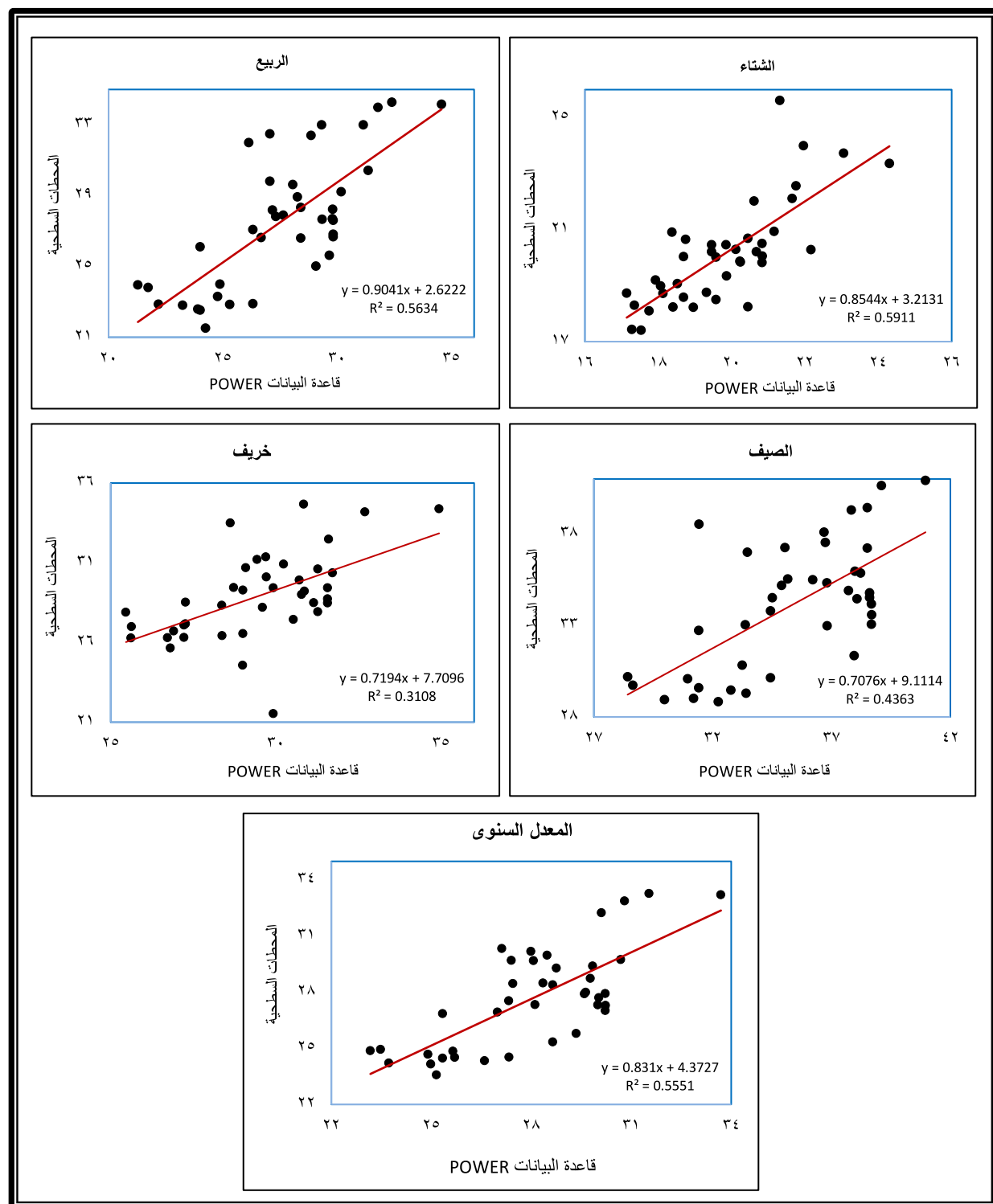
وفي فصل الشتاء، يتضح من تحليل الشكل (3)، أن القاعدتين المدروستين تتشابهان في مرور خط الحرارة العظمي المتساوي ($18,1^{\circ}\text{C}$) بالمثلث الجنوبي لشبه جزيرة سيناء عند الحد الفاصل بين النطاق الجبلي والنطاق الهضبي، كما يمر نفس الخط بأطراف الدلتا الشمالية وأطراف الساحل الشمالي الغربي؛ ويمتد جنوباً حتى السلوم، كما تتشابهان إلى حد كبير في وسط وجنوب مصر بما في ذلك وادي النيل

تقييم كفاءة قاعدة البيانات المناخية العالمية POWER في رصد بيانات درجة الحرارة السطحية في مصر د. هشام داود صدقى والصحراء الشرقية. بينما تختلف القاعدتين في امتداد خط الحرارة المتساوي Isotherm ($20,1^{\circ}\text{M}$) ليعطي قطاع عريض من وسط وغرب الصحراء الغربية، كما تختلف الحرارة العظمى في سيبة والمنطقة المحيطة بها بين القاعدتين بنحو درجة إلى درجتين متواتتين.

ويبين الشكل (5) علاقة الارتباط الفصلي السنوي بين مصفوفتي البيانات المناخية لقاعدتي البيانات موضوع المقارنة، التي تمت بواسطة معامل ارتباط بيرسون لرصد العلاقة الارتباطية بينهما، وقد تبين وجود علاقة ارتباط موجبة قوية ذات دلالة إحصائية بين سلسلتي بيانات الحرارة العظمى في القاعدتين المدروستين، حيث بلغت العلاقة الارتباطية على المستوى السنوي $0,83$ ، ومعامل التحديد (R^2) بلغت قيمته $0,55$ ، وعلى مستوى الفصول الأربع؛ فقد بلغت العلاقة الارتباطية أعلىها في فصل الربيع $0,9$ يليه فصل الشتاء $0,85$ ، ثم فصل الخريف $0,72$ ، ثم فصل الصيف $0,7$ ، كما سجلت معاملات تحديد بقيم مرتفعة في كل الفصول، ويدل ذلك على درجة المصداقية العالية لبيانات درجة الحرارة العظمى المسجلة في قاعدة البيانات الشبكية العالمية Dataset (POWER) وقربها الشديد ودقة مطابقتها مع قيم البيانات المسجلة بالسجالات المناخية لمحطات الرصد الجوية التقليدية.

ومن خلال استخدام بعض الاختبارات الإحصائية للتحقق من صحة البيانات وكمؤشر لجودة المطابقة بين قاعدتي البيانات محل المقارنة، وذلك من خلال استخدام بعض أساليب التقييم الإحصائي، أهمها، تطبيق معامل ارتباط سبيرمان وقياس مستوى المعنوية للبيانات المتحصل عليها؛ كما هو مبين بالجدول (2) والشكل رقم (6) فقد اتضح من خلال التطبيق أن هناك تشابهاً كبيراً ودقة في المطابقة بين قاعدتي البيانات، حيث بلغت قيمة على المستوى السنوي $0,682$ عند مستوى معنوية ($0,01$)، وعلى مستوى الفصول الأربع، فقد بلغت قيمة المعامل $0,742$ للشتاء، و $0,707$ للربيع، و $0,608$ للصيف، و $0,603$ للخريف، وقد جاءت قيمة مستوى المعنوية عند ($0,01$) مما يدل على دقة المطابقة بين بيانات قاعدتي البيانات المدروستين.

يتضح من الجدول (3) والشكل (7) نتائج التقييم الإحصائي لبعض معايير التشتت بين مصفوفتي البيانات الخاصة بالقاعدتين موضع هذه الدراسة، بتطبيق معامل الانحراف المعياري؛ الذي يعد أكثر معايير التشتت استخداماً، حيث يبين درجة التبعثر الإحصائي لمصفوفتي البيانات بالنسبة لوسطهما الحسابي، وكلما كان التشتت كبيراً كلما كانت قيم الانحراف المعياري كبيرة، وقد تبين وجود تشابه كبير بين قيم الانحراف المعياري في لكل من مصفوفتي البيانات المدروستين، فعلى المستوى السنوي بلغ الانحراف المعياري في قاعدة بيانات Dataset (POWER) $2,35$ ، بينما بلغت القيمة في قاعدة بيانات محطات الأرصاد الأرضية $2,62$ ، وجاءت القيم أيضاً على مستوى فصول السنة الأربع متقاربة جداً بين قاعدتي البيانات، ففي فصل الشتاء كانت قيمة الانحراف المعياري $1,64$ لقاعدة بيانات Dataset (POWER)، $1,81$ للمحطات الأرضية، وفي فصل الربيع بلغت قيمة الانحراف المعياري $3,02$ للأولى و $3,63$ للثانية، وفي فصل الصيف بلغت قيمة الانحراف المعياري $3,2$ للأولى و $3,43$ للثانية، وفي فصل الربيع بلغت قيمة الانحراف المعياري $2,08$ ، و $2,68$ للأولى والثانية على التوالي.



المصدر: من عمل الباحث، اعتماداً على بيانات الحرارة العظمى .

شكل (5) مقارنة بين معدلات الحرارة العظمى في قاعدة بيانات (POWER) Dataset ومحطات الأرصاد المختارة في مصر باستخدام معامل الارتباط.

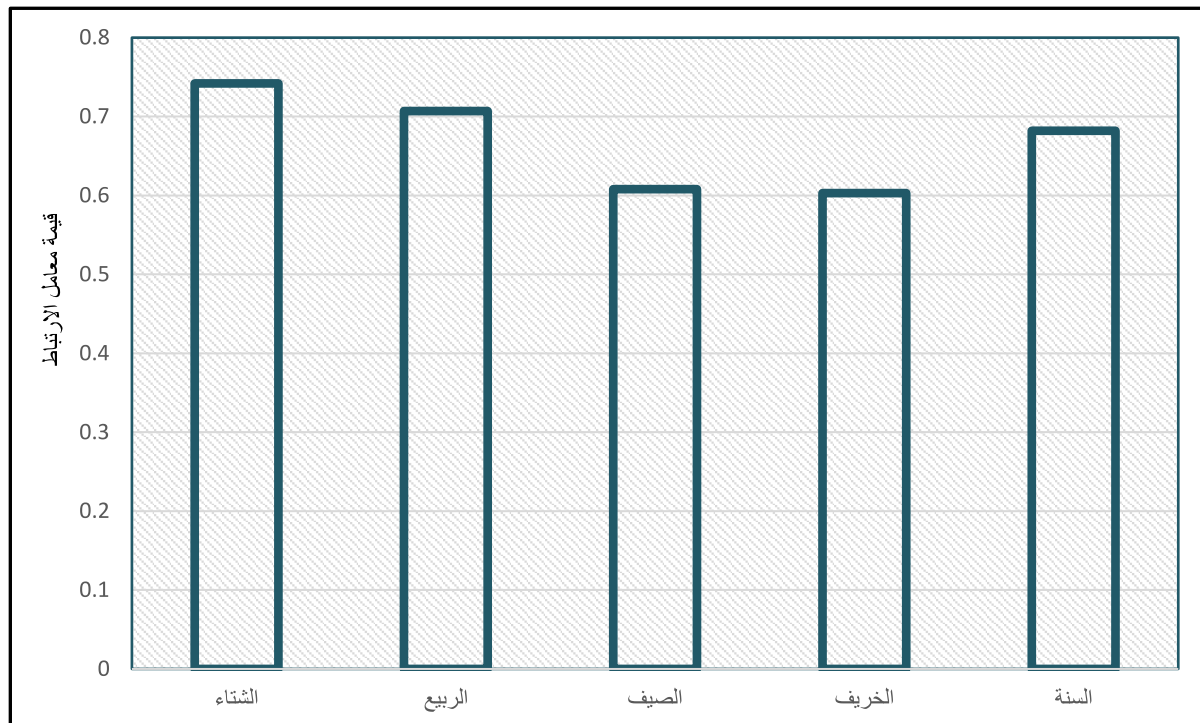
جدول (2) نتائج التقييم الإحصائي بواسطة معامل ارتباط سبيرمان لاختبار دقة المطابقة لقاعدة بيانات متحفات الأرصاد الجوية المختارة لدرجة الحرارة العظمى في مصر (POWER) Dataset

نوع الاختبار	السنة	الخريف	الصيف	الربع	الشتاء
Rho*	0.682	0.603	0.608	0.707	0.742
a**	0.01	0.01	0.01	0.01	0.01

المصدر : من عمل الباحث اعتماداً على البيانات المدروسة.

* معامل ارتباط سبير مان

** (ألفا) مستوى الدلالة او المعنوية significance level



المصدر : من عمل الباحث اعتماداً على الجدول رقم (2).

شكل (6) نتائج التقييم الإحصائي بواسطة معامل ارتباط سبيرمان Rho لاختبار دقة المطابقة لقاعدة بيانات متحفات الأرصاد الجوية المختارة لدرجة الحرارة العظمى في مصر (POWER) Dataset

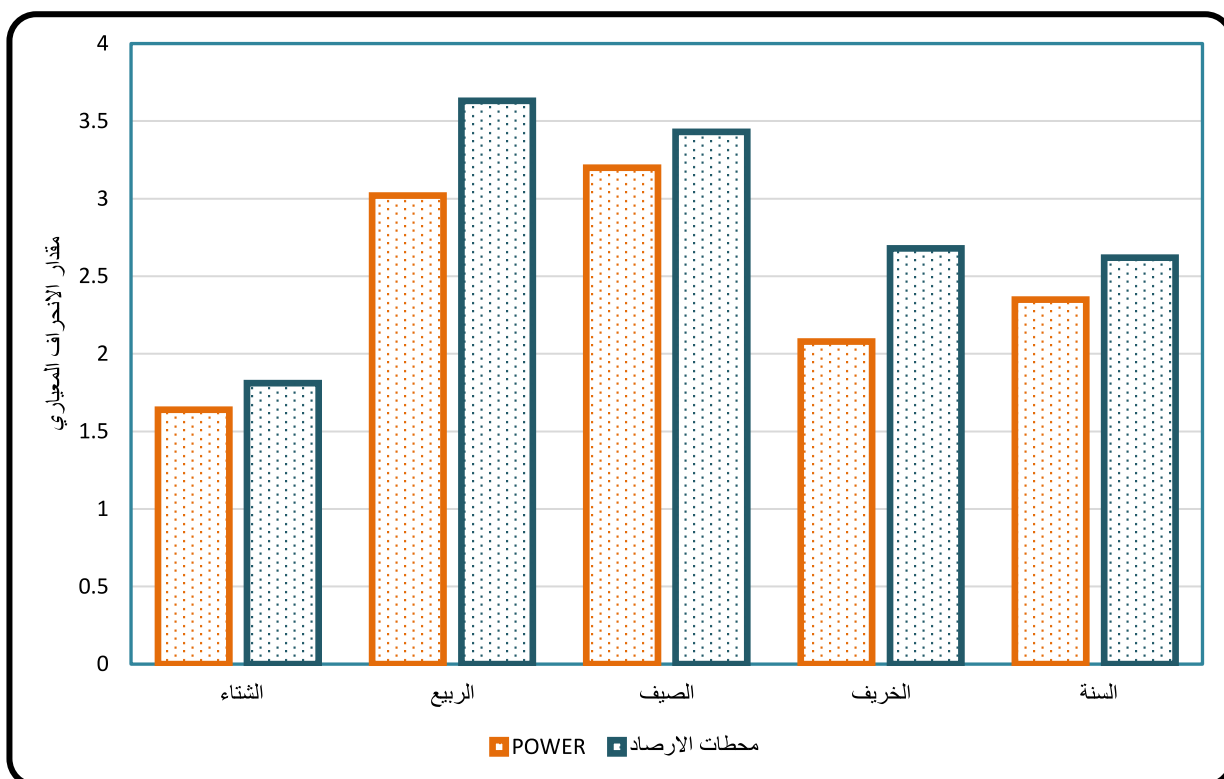
ومن تطبيق معامل التباين الذي يمثل أحد المقاييس الكمية للتعرف على تشتت البيانات، حيث يعد أداته هامة لأغراض التنبؤ، ويستعمل بكثرة في الاختبارات الإحصائية، ويتنبئ كما في الجدول رقم (3) أن القيم جاءت متقاربة إلى حد كبير جداً بين مصفوفتي البيانات موضوع هذا البحث، مما يدل على التشابه ودقة المطابقة بينهما؛ فعلى المستوى السنوي كانت قيمة معامل التباين لقاعدة بيانات (POWER Dataset) حوالي 5,54 وبلغت قيمته في قاعدة بيانات محطات الأرصاد الجوية التقليدية 6,9، كما جاءت قيم معامل التباين على مستوى الفصول متقاربة، فكان أشدتها تقارباً فصل الشتاء، حيث بلغ بالنسبة لقاعدة POWER 2,7، بينما بلغت القيمة في قاعدة محطات الأرصاد 3,3، ويأتي بعده فصل الصيف حيث بلغت قيمة معامل التباين 10,24، 11,75 لقاعدة البيانات الأولى والثانية، ثم يليهما فصلي الخريف والربيع على التوالي.

وتستخدم النتائج المتعلقة بتطبيق معامل الاختلاف كدليل على مدى دقة البيانات، فكلما قلت قيمة معامل الاختلاف زادت دقة البيانات والعكس صحيح، فإذا كانت قيمة معامل الاختلاف 10% فإن البيانات تحتاج إلى مراجعة، وإذا كانت القيمة 20% فإن ذلك يعني أن هناك خطأ كبير (فتحي أبو راضي، 2000م، ص 276). ومن تتبع النتائج المسجلة بالجدول (3) يتبين أن معامل الاختلاف السنوي بمصفوفتي البيانات بالقاعدتين المناخيتين موضوع هذه الدراسة؛ جاء أقل من 10%， فقد بلغ في قاعدة بيانات (POWER) Dataset 9,49%， وفي قاعدة بيانات المحطات الأرضية بلغت نحو 8,4%， وعلى مستوى الفصول الأربع، جاء فصل الخريف أقلها في قيمة معامل الاختلاف وأكثرها في دقة بيانته 7,06% لقاعدة البيانات الشبكية Dataset (POWER) ، 9,28% لقاعدة محطات الأرصاد الأرضية، يليه فصل الشتاء 8,27% للأولي و 9,03% للثانية، وجاء فصل الصيف بالمرتبة الثالثة، أما فصل الربيع فإن معامل الاختلاف في هذا المصفوفتين قد بلغت قيمته أكثر من 10%， مما يعني أن البيانات المرصودة تحتاج إلى مراجعة في هذا الفصل، وفي المجمل فإن نواتج معامل الاختلاف تدل على دقة البيانات المناخية في المصفوفتين إلى حد كبير.

جدول (3) نتائج التقييم الإحصائي بواسطة بعض مقاييس التشتيت لاختبار دقة المطابقة لقاعدة بيانات power مع بيانات محطات الأرصاد الجوية المختارة لدرجة الحرارة العظمى في مصر.

معامل الاختلاف		معامل التباين		الانحراف المعياري		
محطات الأرصاد	POWER	محطات الأرصاد	POWER	محطات الأرصاد	POWER	
%9.03	%8.27	3.3	2.7	1.81	1.64	الشتاء
%13.21	%10.96	13.21	9.11	3.63	3.02	الربيع
%10.05	%9.07	11.75	10.24	3.43	3.2	الصيف
%9.28	%7.06	7.2	4.32	2.68	2.08	الخريف
%9.49	%8.4	6.9	5.54	2.62	2.35	السنة

المصدر : من عمل الباحث اعتماداً على سجلات البيانات الخاصة بدرجة الحرارة العظمى بقاعدة البيانات المدروستين.



المصدر : من عمل الباحث اعتماداً على الجدول رقم (3).

شكل (7) التقييم الإحصائي بواسطة الانحراف المعياري لاختبار دقة المطابقة لقاعدة بيانات (POWER) مع بيانات محطات الأرصاد الجوية المختارة لدرجة الحرارة العظمى في مصر Dataset.



المصدر: من عمل الباحث، اعتماداً على بيانات الحرارة العظمى لقاعدة البيانات المدروستين .
شكل (8) مقارنة بين معدلات الحرارة العظمى في قاعدة بيانات (POWER) Dataset ومحطات الأرصاد المختارة باستخدام مخطط Boxplot في مصر.

وقد استخدم الباحث واحداً من مقاييس التشتت؛ وهو ما يعرف "بمخطط الصندوق وطرفيه" Boxplot أو الرسم الصندوقي، وهو ذو أهمية في تكوين صورة مركبة عن البيانات، وبيان مدى توافقها أو تبعثرها وشذوذها Anomaly، كما تظهر هذه الطريقة التمثيل البياني لبعض المعايير مثل درجة التشتت والوسط الحسابي ودرجة الالتواء وتحديد القيم الشاذة (المعلوماتية الحيوية بالعربية، 2014).

ويتبين من تحليل الشكل (8) أن هناك تشابهاً كبيراً يقترب من التمايز في مصفوفتي البيانات بكل من القاعدتين موضوع الدراسة، فعلى المستوى السنوي؛ بلغت النسبة لمتوسط مخطط الصندوق في قاعدة بيانات POWER على مستوى مصر 28°م، وبلغت في قاعدة بيانات محطات الطقس التقليدية 27°م، وبلغت قيمة الربيع الأول Q1 فيهما 25,93°م للأولى 24,92°م للثانية، وبلغت قيمة الربيع الثالث Q3 فيهما 29,96°م للأولى 29,47°م للثانية، وبلغت القيمة الصغرى فيهما 23,17°م للأولى 23,58°م للثانية، وبلغت القيمة الكبرى فيهما 33,28°م للأولى 33,69°م للثانية، وتخلو قاعدي البيانات تماماً من وجود القيم الشاذة، مما يدل على سلامة البيانات وتماثلها وصلاحيتها للاعتماد عليها.

وعلى مستوى فصول الأربعة ببين الشكل (8)، أن فصل الربيع هو الأكثر تجانساً ومطابقة في بيانته بكل من قاعدي البيانات المدروستين، فقد بلغت النسبة لمتوسط مخطط الصندوق Q2 لدرجة الحرارة العظمى في هذا الفصل في قاعدة بيانات POWER على مستوى مصر 27,86°م، وبلغت في قاعدة بيانات محطات الطقس التقليدية 27,64°م، وبلغت قيمة الربيع الأول Q1 فيهما 23,17°م للأولى و 23,58°م للثانية، وبلغت قيمة الربيع الثالث Q3 فيهما 34,57°م للأولى و 34,27°م للثانية، وبلغت القيمة الصغرى فيهما 21,28°م للأولى و 21,52°م للثانية، وبلغت القيمة الكبرى فيهما 34,57°م للأولى و 34,27°م للثانية، وتخلو كل من قاعدي البيانات من وجود القيم الشاذة Anomalous values خارج مخطط الصندوق، مما يدل على سلامة البيانات ومطابقتها وصلاحيتها للاعتماد عليها كمصدر بديل أو مكمل لبيانات محطات الرصد الجوى.

وتظهر دقة المطابقة أيضاً في فصل الصيف بين قاعدي البيانات المدروستين، فقد بلغت النسبة لمتوسط مخطط الصندوق Q2 في هذا الفصل في قاعدة بيانات POWER على مستوى مصر 35,68°م، وبلغت في قاعدة بيانات محطات الطقس التقليدية 34,48°م، وبلغت قيمة الربيع الأول Q1 فيهما 32,88°م للأولى و 30,36°م للثانية، وبلغت قيمة الربيع الثالث Q3 فيهما 38,19°م للأولى و 36,74°م للثانية، وبلغت القيمة الصغرى فيهما 28,42°م للأولى و 28,83°م للثانية، وبلغت القيمة الكبرى فيهما 40,95°م للأولى و 40,92°م للثانية، وتخلو كل من قاعدي البيانات من وجود القيم الشاذة Anomalous values، مما يدل على أن البيانات في قاعدة POWER قد استنبطت بدقة لخصائص درجات الحرارة العظمى في مصر.

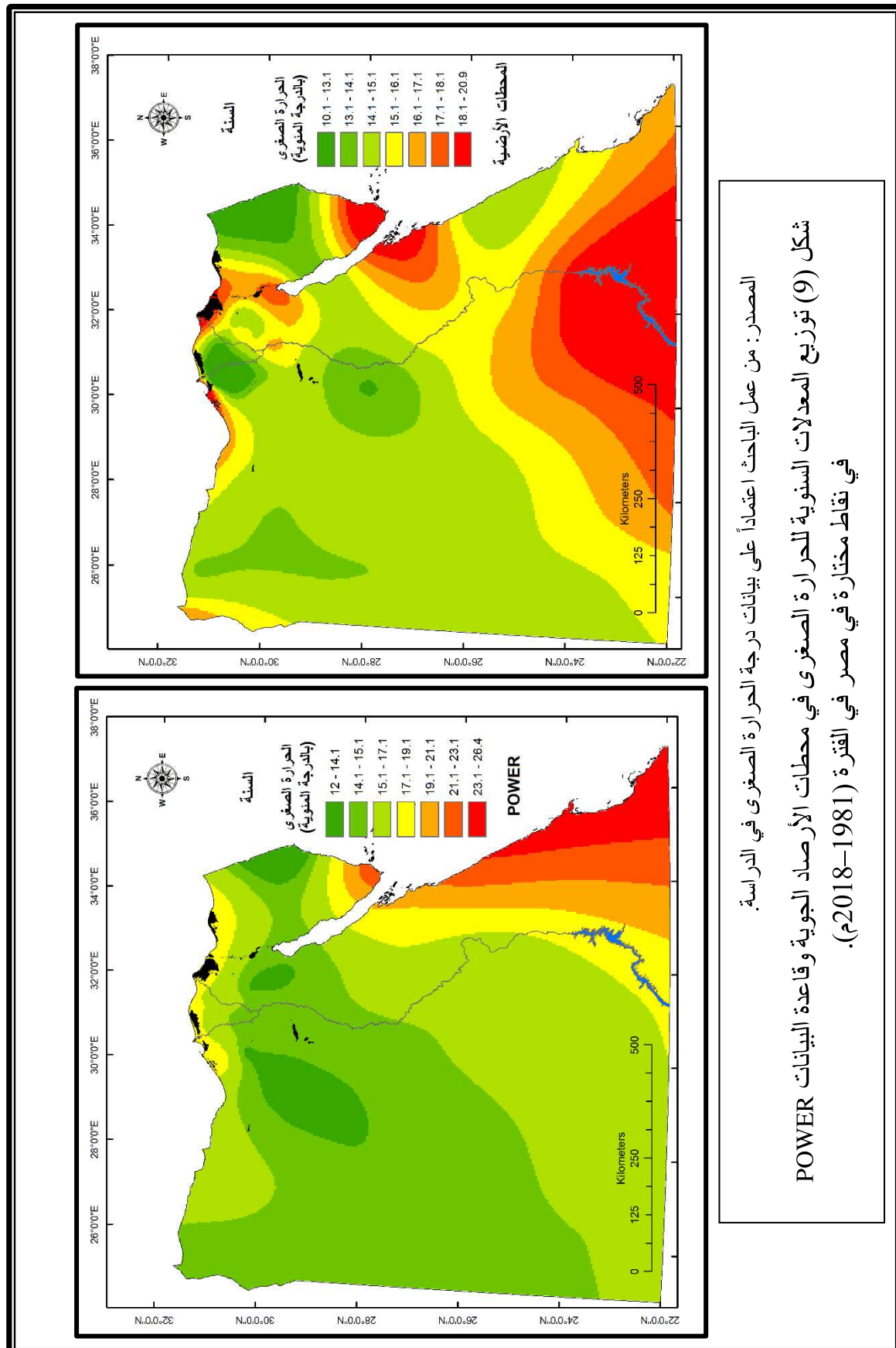
وفي فصل الخريف أيضاً تتشابه مصفوفتي بيانات الحرارة العظمى بكل من القاعدتين المدروستين، فقد بلغت النسبة لمتوسط مخطط الصندوق Q2 في هذا الفصل في قاعدة بيانات POWER على مستوى مصر 29,65°م، وبلغت في قاعدة بيانات محطات الطقس التقليدية 28,62°م، وبلغت قيمة الربيع الأول Q1 فيهما 27,54°م للأولى و 27,02°م للثانية، وبلغت قيمة الربيع الثالث Q3 فيهما 31,08°م للأولى و 30,55°م للثانية، وبلغت القيمة الصغرى فيهما 25,46°م للأولى و 24,57°م للثانية، وبلغت القيمة الكبرى فيهما

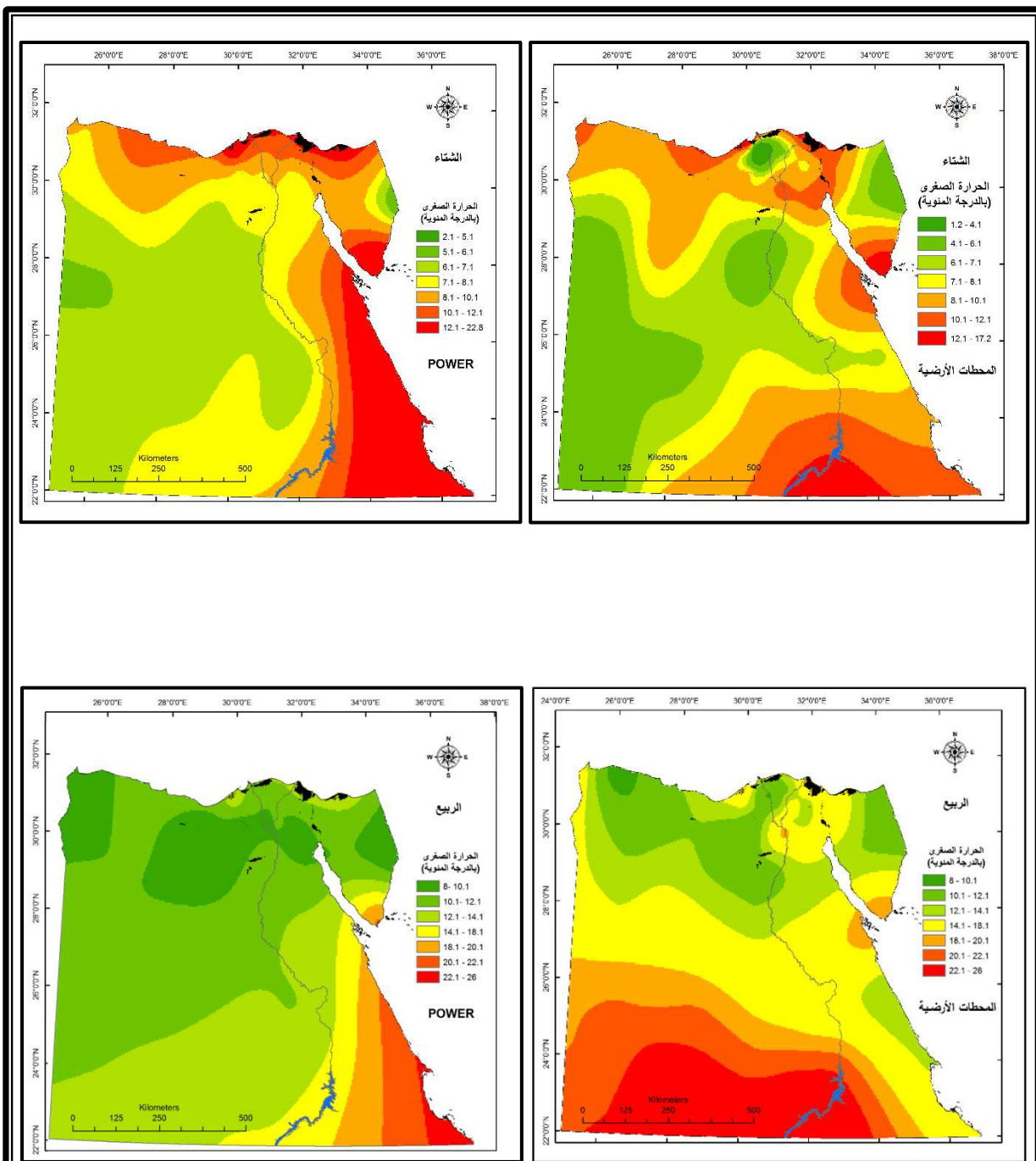
تقييم كفاءة قاعدة البيانات المناخية العالمية POWER في رصد بيانات درجة الحرارة السطحية في مصر د. هشام داود صدقى
34,94 م للأولى و 34,68 م للثانية، وتوجد قيمة واحدة شاذة بقاعدة بيانات محطات الأرصاد الجوية التقليدية تتمركز حول القيمة 21,54 م ، ويدل العرض السابق على أن البيانات في قاعدة POWER قد استنسخت بدقة لخصائص درجات الحرارة العظمى في فصل الخريف في مصر. وفي فصل الشتاء بلغت

النسبة لمتوسط Q2 مخطط الصندوق لدرجة الحرارة العظمى في هذا الفصل في قاعدة بيانات (POWER) على مستوى مصر 19,71 م، وبلغت في قاعدة بيانات محطات الطقس التقليدية 20,02 م، وبلغت قيمة الربيع الأول Q1 فيما 18,41 م للأولى و 18,73 م للثانية، وبلغت قيمة الربيع الثالث Q3 فيما 20,83 م للأولى و 20,68 م للثانية، وبلغت القيمة الصغرى فيما 17,14 م للأولى و 17,41 م للثانية، وبلغت القيمة الكبرى فيما 24,30 م للأولى و 22,37 م للثانية، وتوجد قيمتان شاذتان بقاعدة بيانات محطات الأرصاد الجوية التقليدية تتمركزان حول القيم 23,73 م و 25,62 م .

6 - 2 - تقييم كفاءة درجة الحرارة الصغرى.

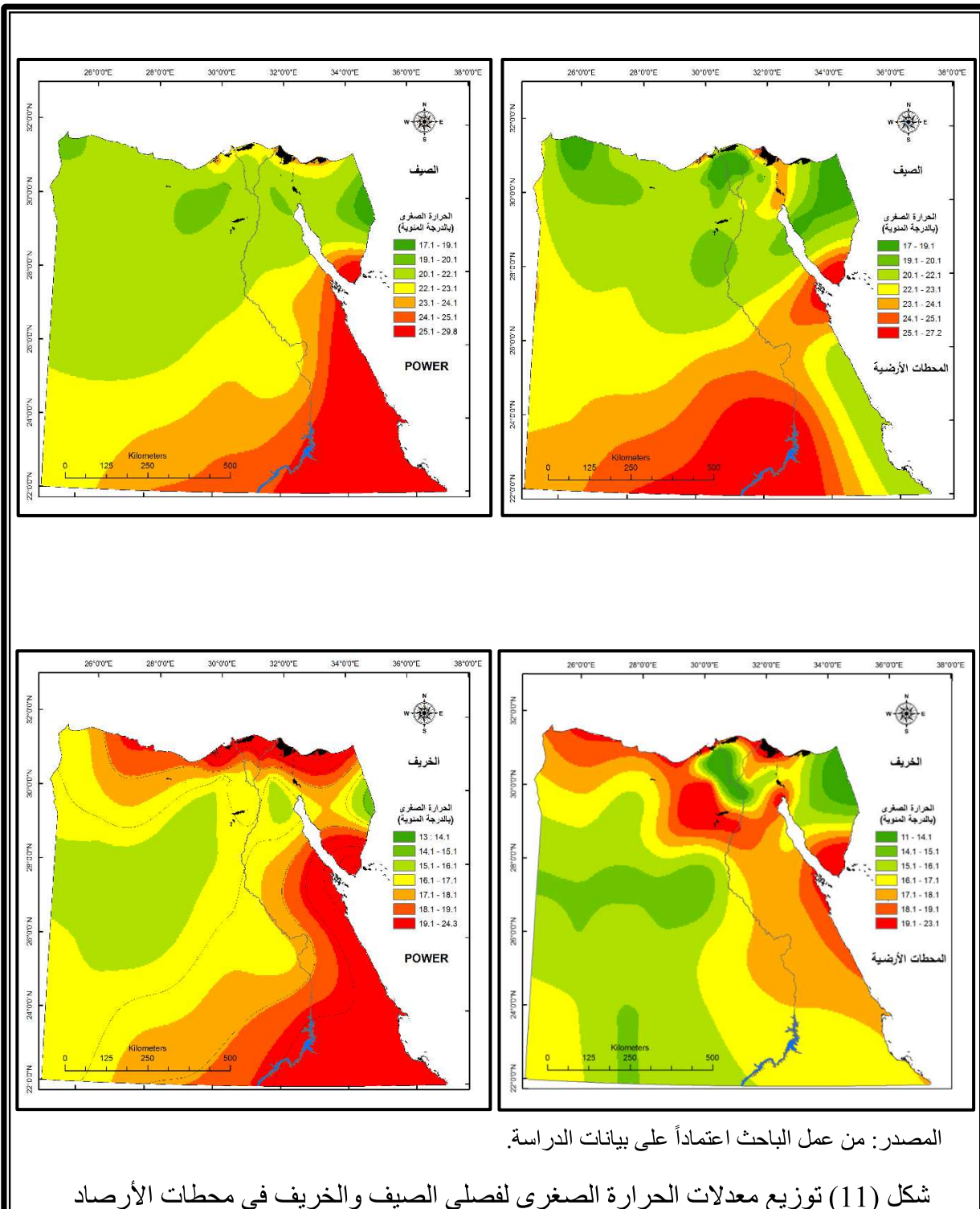
توضح الأشكال (9) و (10) و (11) توزيع المعدلات السنوية والفصلية لدرجة الحرارة الصغرى في محطات الأرصاد الجوية المختارة؛ وقاعدة البيانات POWER بمصر، ومن تحليل هذه الأشكال نلاحظ أن المعدلات السنوية لدرجات الحرارة الصغرى تتناقص في كل من الخريطتين المبينتين بالشكل (9) كلما اتجهنا من الجنوب نحو الشمال؛ باستثناء الأجزاء الشمالية من سواحل مصر الشمالية؛ بسبب تأثير البحر المتوسط الفيزيائي الذي يقل المدى الحراري على مدار السنة، ويلاحظ أن خط الحرارة المتساوي 15.1 م في ذات الخريطتين يكاد يقسم مصر إلى مثفين متباينين؛ حيث يمتد هذا الخط من جبل عوينات في أقصى جنوب غرب مصر حتى جنوب مدينة السويس في شمال شرق مصر، وهناك ثمة اختلافات طفيفة بين البيانات على الخريطتين؛ ففي الخريطة الخاصة بتوزيع الحرارة الصغرى بالنسبة لمحطات الأرصاد التقليدية سجلت الأجزاء الشمالية الغربية من دلتا النيل أقل قيم لدرجات الحرارة الصغرى (10,2 – 12,2 م)، بينما سجلت نفس المنطقة على الخريطة الممثلة لبيانات قاعدة البيانات التابعة لناسا Dataset (POWER) قيم لدرجة الحرارة الصغرى تتراوح بين (14,2 – 17,2 م). وثمة اختلاف آخر بين الخريطتين يتمركز على منطقة محافظات قناة السويس، فقد امتدت خطوط الحرارة الصغرى المتساوية على خريطة محطات الأرصاد التقليدية في شكل شريط طولي (شمالي – جنوبى) ممتد من بورسعيد حتى جنوب محافظة السويس؛ ترتفع فيه قيم درجة الحرارة الصغرى، حيث سجلت كلا من بورسعيد والاسماعيلية والسويس نفس القيم 17,1 م، 17,1 م على التوالي، بينما يختلف هذا الوضع على الخريطة الممثلة لبيانات قاعدة البيانات التابعة لناسا Dataset (POWER) حيث مثلت درجة الحرارة الصغرى في شكل خطوط متساوية عرضية 16,1 م، 15,1 م، 17,1 م على التوالي .





المصدر: من عمل الباحث اعتماداً على بيانات درجة الحرارة الصغرى بمنطقة الدراسة.

شكل (10) توزيع معدلات الحرارة الصغرى لفصول الشتاء والربيع في محطات الأرصاد الجوية وفي نقاط مختارة في قاعدة البيانات POWER بمصر في الفترة (1981-2018م)



أما بالنسبة لمدى التشابه والاختلاف في التوزيع الجغرافي لبيانات درجة الحرارة الصغرى في قاعدتي البيانات محل المقارنة على المستوى الفصلي، فيظهر من تحليل خريطي توزيع درجات الحرارة الصغرى في فصل الشتاء بالشكل (10) أن قاعدتي البيانات المدروستين تتشابهان في بيانات الحرارة الصغرى إلى حد كبير، فلاحظ ارتفاع قيم درجة الحرارة الصغرى بكل من الخريطتين محل المقارنة شمالي مصر وشرقها على البحرين الأحمر والمتوسط بسبب تأثير المسطحات المائية التي تبعث الدفء على المناطق المجاورة، كما ترتفع قيم درجات الحرارة الصغرى في جنوب وجنوب شرق مصر فيما أيضاً ، كما تقل قيم درجات الحرارة الصغرى بكل من الخريطتين في الأجزاء الداخلية من صحراء مصر الغربية؛ بسبب البعد عن المؤثرات البحرية، حيث تراوحت قيم درجات الحرارة الصغرى بكليهما ما بين $4,1^{\circ}\text{M}$: $7,1^{\circ}\text{M}$. وتحتلت الخريطتان في بعض التفاصيل، فخربيطة توزيع الحرارة الصغرى الخاصة ببيانات محطات الأرصاد التقليدية يتركز بها على غرب الدلتا ناطق يبلغ نصف قطره 70 km ، تنخفض به قيم الحرارة الصغرى عن الناطق المحيط، حيث تراوحت قيمها بين $1,2^{\circ}\text{M}$: $4,2^{\circ}\text{M}$ ، بينما تختفي هذه القيم المنخفضة في خريطة التوزيع الخاصة بقاعدة بيانات Dataset (POWER) والتي تراوحت بين $7,1^{\circ}\text{M}$: $10,1^{\circ}\text{M}$.

وفي فصل الربيع يظهر من الشكل (10) أن توزيع خطوط الحرارة الصغرى المتتساوية بكل من قاعدتي البيانات موضوع المقارنة بهذه الدراسة أقل تشابهاً في هذا الفصل مقارنة بسابقه، حيث يبدو الاختلاف بين خريطي التوزيع في شمال الصعيد والقاهرة الكبرى ومنطقة شرق الدلتا ومحافظات القناة، ففي الخريطة الأولى المعتمدة على بيانات محطات الأرصاد الجوية التقليدية، يغطي منطقة القاهرة الكبرى خط الحرارة الصغرى المتتساوي $14,1^{\circ}\text{M}$ ، في حين يمر بها خط الحرارة الصغرى المتتساوي $10,1^{\circ}\text{M}$ في الخريطة الثانية المعتمدة على بيانات قاعدة البيانات المناخية Dataset (POWER)، كذلك الحال في محافظات القناه، حيث يغطي المحافظات الثلاث خط $14,1^{\circ}\text{M}$ بالنسبة للخريطة الأولى؛ بينما سجلت كلًّا من بور سعيد والاسماعيلية والسويس $14,1^{\circ}\text{M}$ ، $12,1^{\circ}\text{M}$ ، $10,1^{\circ}\text{M}$ على الترتيب. وتتشابه القاعدتين في توزيع بياناتها في جنوب وجنوب شرق مصر وساحل البحر الأحمر وجنوب سيناء.

تشابه قاعدتي البيانات موضوع المقارنة بشكل كبير في فصل الصيف، فمن تحليل خريطي توزيع خطوط الحرارة الصغرى المتتساوية في فصل الصيف بالشكل (11) يظهر أن الخريطتين تتشابهان في توزيع درجات الحرارة الصغرى في شمالي مصر حتى خط عرض مدينة أسيوط، حيث يغطيها خطوطها حرارة الصغرى المتتساوية التي تتراوح ما بين $(20,1^{\circ}\text{M} : 22,1^{\circ}\text{M})$ ؛ اللهم إلا نطاقات صغيرة على سواحل شمال الدلتا وشمالها الشرقي وشمالها الغربي، كما تتشابه الخريطتان في تمثيل خطوط درجة الحرارة الصغرى في جنوبى مصر، حيث تسجل كل من أسوان والأقصر فيما $27,2^{\circ}\text{M}$. وتحتلت الخريطتان في تمثيل درجة الحرارة الصغرى علي ساحل البحر الأحمر جنوب الغردقة حتى الحدود مع السودان، حيث يغطي خط درجة الحرارة الصغرى المتتساوي $20,1^{\circ}\text{M}$ للخريطة الأولى، و $25,1^{\circ}\text{M}$ للثانية، كما يبرز الاختلاف أيضاً في منطقة وسط وغرب الدلتا حيث يغطي الأولى خط $19,1^{\circ}\text{M}$ ، ويغطي الثانية $22,1^{\circ}\text{M}$.

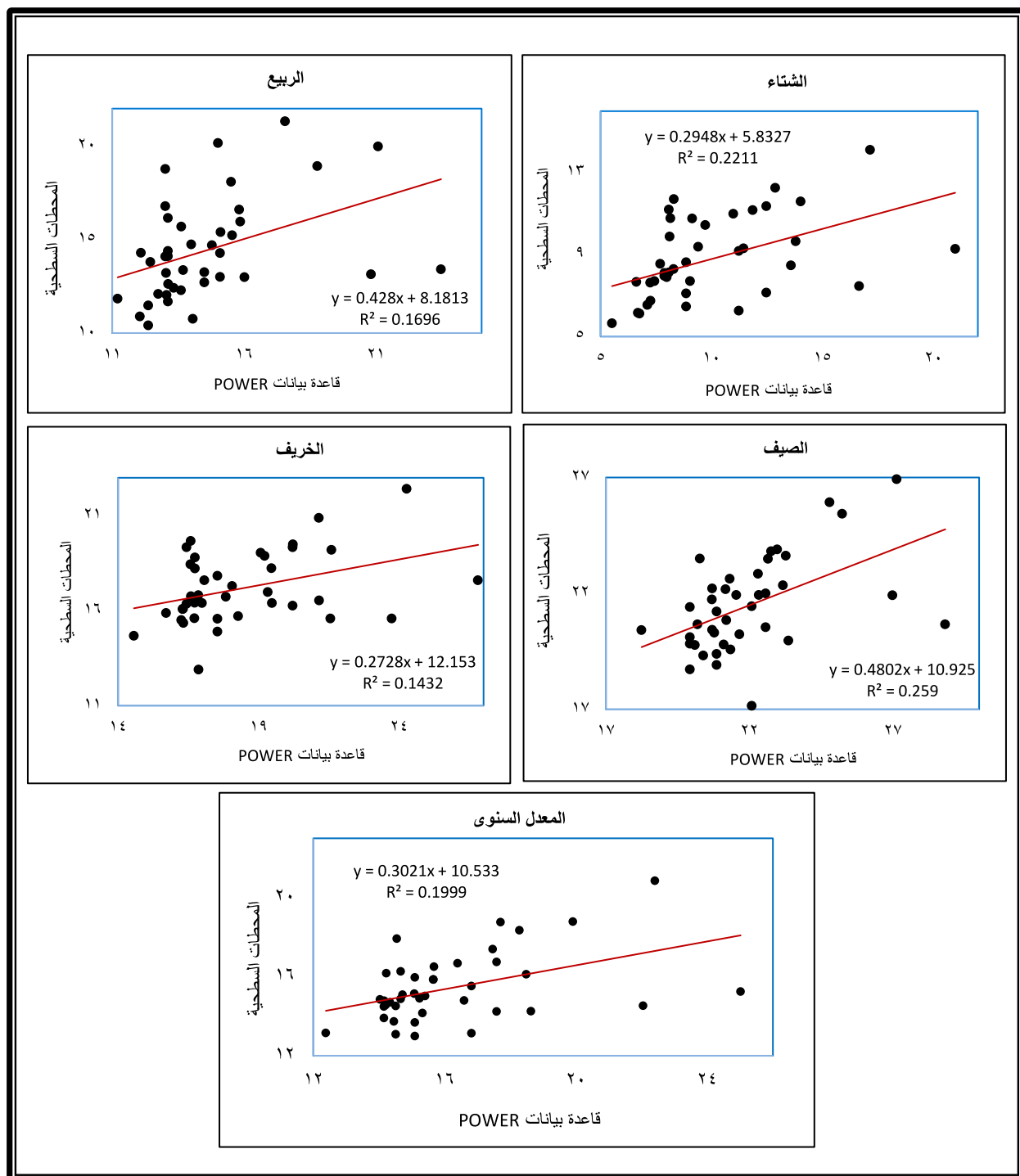
أما عن فصل الخريف، فمن تحليل الخريطتين الخاصتين بتوزيع خطوط الحرارة الصغرى المتتساوية

في فصل الخريف بالشكل (11) يظهر أن الخريطتين تتشابهان في تمثيل درجات الحرارة الصغرى في وسط وجنوب الصحراء الغربية، حيث يمر بهذه المناطق خطوط الحرارة الصغرى المتساوية ($14,1^{\circ}\text{C}$: $16,1^{\circ}\text{C}$)، كما تتشابهان في السواحل الشمالية لمصر، حيث يمر بها خطوط حرارة صغرى متساوية بين ($18,1^{\circ}\text{C}$: $19,1^{\circ}\text{C}$)، وكذلك الأجزاء الجنوبية من شبه جزيرة سيناء. ويمكن رصد الاختلافات في توزيع درجات الحرارة الصغرى بين قاعدتي البيانات المدروستين على خريطتي فصل الخريف في نقاط، أهمها نطاق يشمل غرب الدلتا والقاهرة الكبرى حيث تنخفض به الحرارة الصغرى إلى $14,1^{\circ}\text{C}$ بينما تمثل قيم الحرارة الصغرى في الخريطة الثانية المعتمدة على قاعدة بيانات Dataset (POWER) ($15,1^{\circ}\text{C}$: $17,1^{\circ}\text{C}$)، كما يظهر الاختلاف أيضاً في شمال شرق وشرق سيناء.

ويعرض الشكل (12) بيانيًّا لعلاقة الارتباط السنوي والفصلي لمصروفتي بيانات درجة الحرارة الصغرى بكل من قاعدتي البيانات موضوع الدراسة، ويظهر من الشكل سالف البيان وجود علاقة ارتباطية موجبة متوسطة ذات دلالة إحصائية بين سلسلتي بيانات درجة الحرارة الصغرى بكل من قاعدتي البيانات موضوع هذا البحث في مصر؛ فقد بلغت العلاقة الارتباطية السنوية بينهما 0,30، ومعامل التحديد (R^2) بلغت قيمته 0,2، وعلى مستوى فصول السنة؛ فقد بلغت العلاقة الارتباطية أعلىها في فصل الصيف 0,48 يليه فصل الربيع 0,42، ثم فصل الشتاء 0,29، ثم فصل الخريف 0,27، كما سجلت معاملات تحديد (R^2) بقيم متوسطة في كل الفصول، و يعد هذا العرض البياني دليلاً على دقة المطابقة ودرجة المصداقية لبيانات درجة الحرارة الصغرى المسجلة في قاعدة البيانات الشبكية Dataset (POWER) وقربها من قيم البيانات المسجلة بالسجلات المناخية لمحطات الأرصاد الجوية التقليدية.

وبتطبيق معامل ارتباط سبيرمان، للتحقق من صحة البيانات وكمؤشر لبيان دقة المطابقة بين قاعدتي البيانات موضوع المقارنة في هذه الدراسة، أظهر الجدول (4) والشكل رقم (13) أن دقة المطابقة بين مصروفتي بيانات درجة الحرارة الصغرى في القاعدتين تتراوح بين المتوسطة إلى المرتفعة، فقد بلغت قيمة معامل ارتباط بيرسون على المستوى السنوي 0,433، عند مستوى معنوية 0,005، وعلى مستوى فصول السنة؛ فكان أعلىها ارتباطاً هو فصل الشتاء، إذ بلغت قيمة معامل الارتباط فيه 0,576 عند مستوى معنوية 0,001 يليه فصل الصيف ثم الربيع ثم الخريف، حيث بلغت قيمة المعامل بهذه الفصول 0,530، 0,460، 0,437 على التوالي.

ويبيّن الجدول (5) والشكل (14) نتائج التقييم الإحصائي لبعض معايير التشتت بين مصروفتي بيانات درجات الحرارة الصغرى بكل من قاعدتي البيانات موضوع هذه الدراسة، وبتطبيق معامل الانحراف المعياري؛ نلاحظ انخفاض قيمته على المستوى السنوي والفصلي، بالإضافة إلى وجود تشابه كبير بين قيم الانحراف المعياري بكل من قاعدتي البيانات؛ ويعني هذا دقة المطابقة بين قاعدتي البيانات، وارتفاع درجة المصداقية لبيانات درجة الحرارة الصغرى المسجلة بقاعدة البيانات الشبكية Dataset (POWER)؛ وتشابهها الكبير مع البيانات المسجلة بسجلات محطات الأرصاد الجوية التقليدية، فعلى المستوى السنوي بلغ الانحراف المعياري لدرجات الحرارة الصغرى في قاعدة بيانات Dataset (POWER) 2.54، بينما بلغت القيمة في



المصدر: من عمل الباحث، اعتماداً على بيانات الحرارة الصغرى .

شكل (12) مقارنة بين معدلات الحرارة الصغرى في قاعدة بيانات (POWER) Dataset ومحطات الأرصاد الجوية المختارة باستخدام معامل الارتباط في مصر.

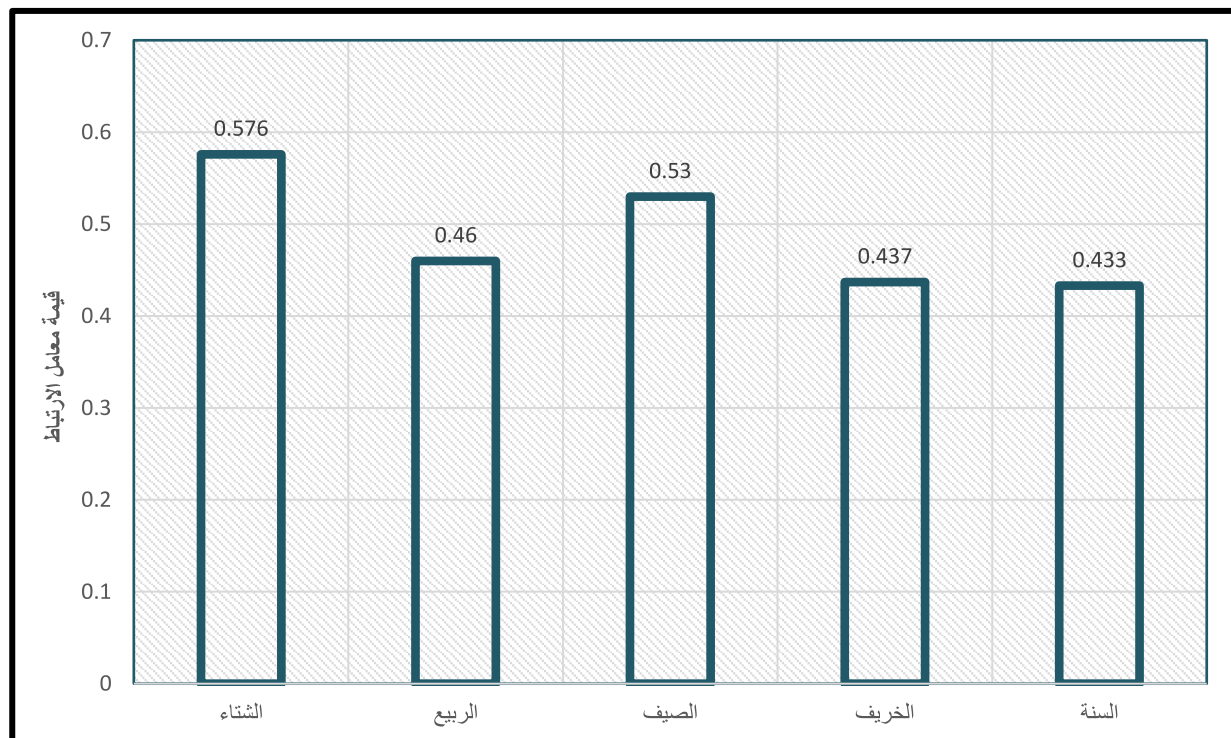
جدول (4) نتائج التقييم الإحصائي بواسطة معامل ارتباط سبيرمان لاختبار دقة المطابقة لقاعدة بيانات مع بيانات محطات الأرصاد الجوية المختارة لدرجة الحرارة الصغرى في مصر (POWER) Dataset

نوع الاختبار	السنة	الخريف	الصيف	الربع	الشتاء
Rho*	0.433	0.437	0.530	0.460	0.576
a**	0.005	0.005	0.001	0.003	0.001

المصدر : من عمل الباحث اعتماداً على البيانات المدرosa.

* معامل ارتباط سبير مان

** (ألفا) مستوى الدلالة او المعنوية significance level



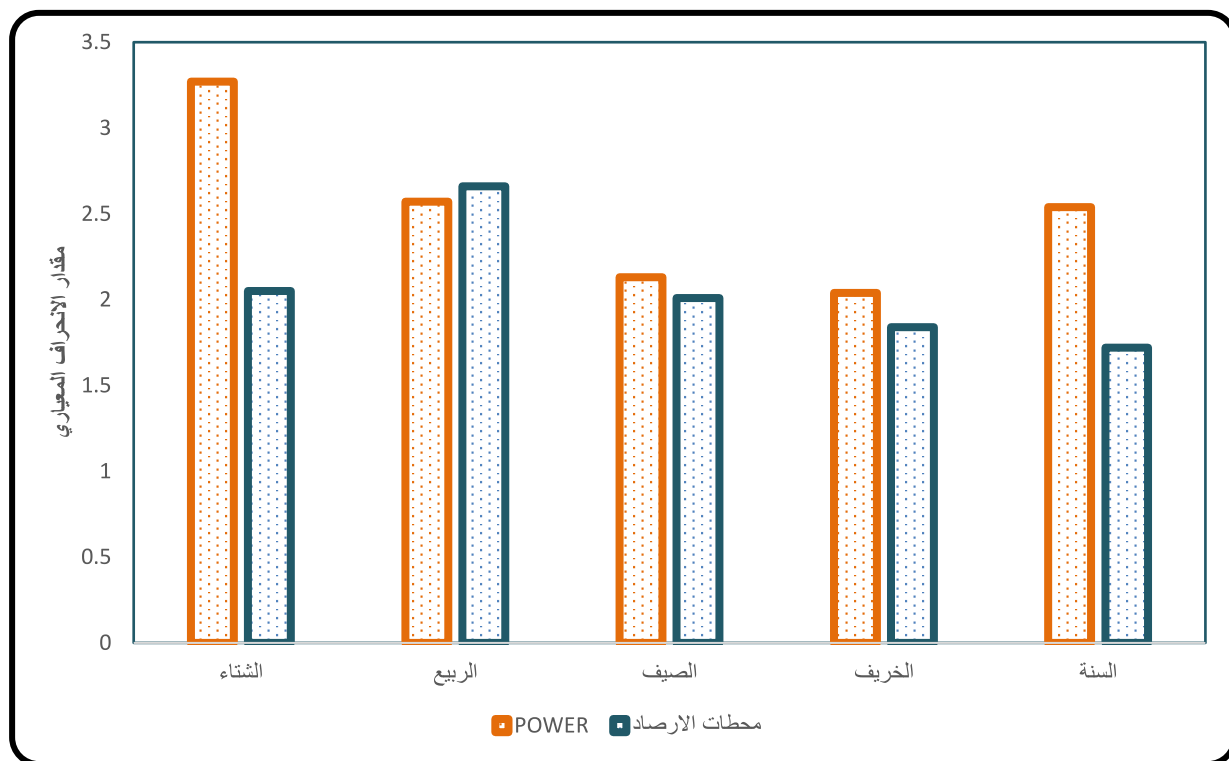
المصدر : من عمل الباحث اعتماداً على البيانات الجدول رقم (4) .

شكل (13) نتائج التقييم الإحصائي بواسطة معامل ارتباط سبيرمان لاختبار دقة المطابقة لقاعدة بيانات مع بيانات محطات الأرصاد الجوية المختارة لدرجة الحرارة الصغرى في مصر (POWER) Dataset

جدول (5) نتائج التقييم الإحصائي بواسطة بعض مقاييس التشتيت لاختبار دقة المطابقة لقاعدة بيانات محطات الأرصاد الجوية المختارة لدرجة الحرارة الصغرى في مصر (POWER) Dataset

معامل الاختلاف		معامل التباين		الانحراف المعياري			
محطات الأرصاد	POWER	محطات الأرصاد	POWER	محطات الأرصاد	POWER	الشتاء	حرارة الصغرى
%18.40	%17.9	4.20	10.67	2.05	3.27	الشتاء	حرارة الصغرى
%13.8	%14.6	7.11	6.75	2.66	2.57	الربع	
%9.34	%9.68	4.02	4.52	2.01	2.13	الصيف	
%10.67	%11.24	3.38	4.17	1.84	2.04	الخريف	
%11.11	%13.64	2.94	6.44	1.72	2.54	السنة	

المصدر : من عمل الباحث اعتماداً على سجلات البيانات الخاصة بدرجة الحرارة الصغرى بقاعدة البيانات المدروستين.



المصدر : من عمل الباحث اعتماداً على الجدول رقم (5).

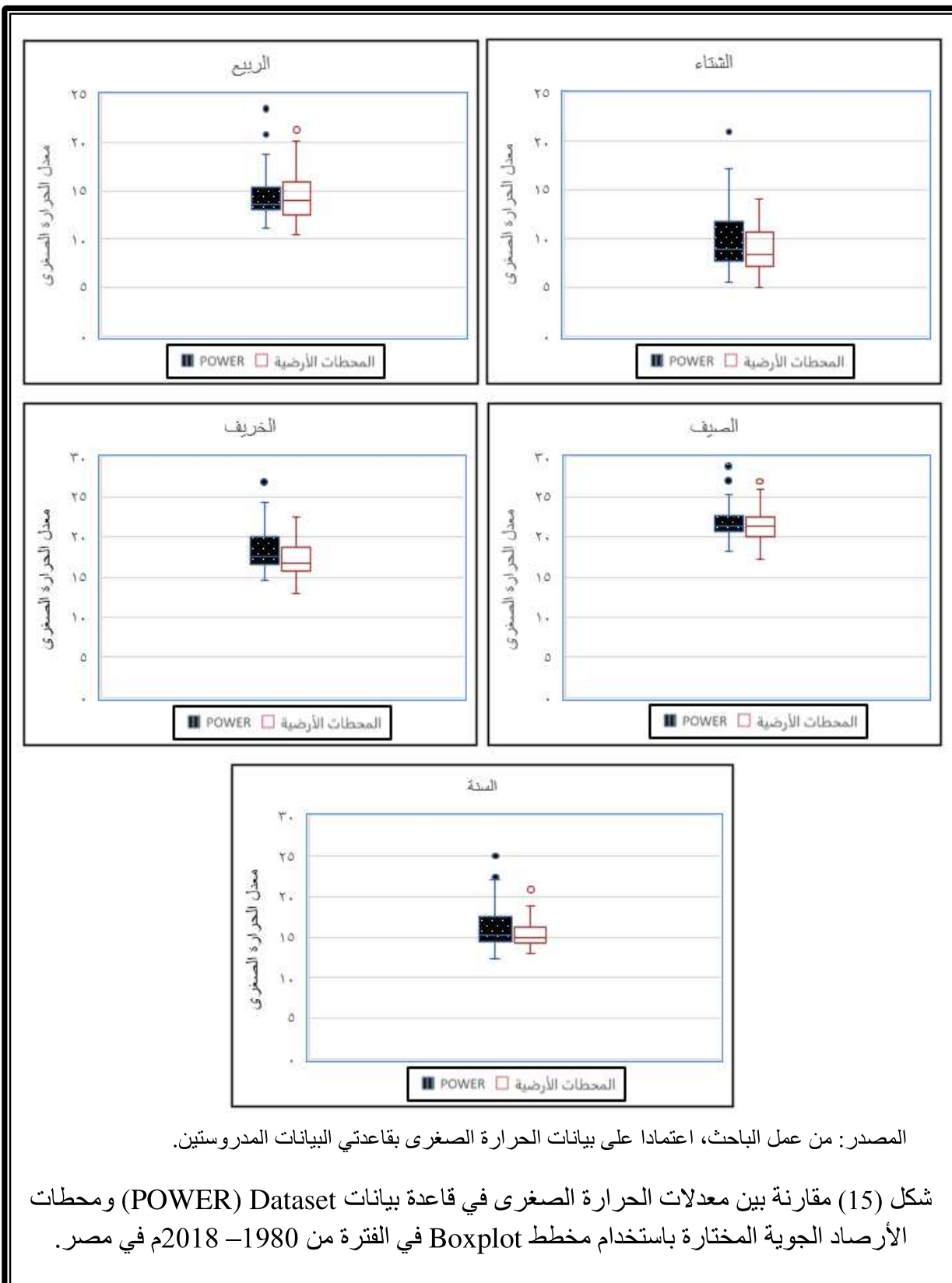
شكل (14) التقييم الإحصائي بواسطة الانحراف المعياري لاختبار دقة المطابقة لقاعدة بيانات محطات الأرصاد الجوية المختارة لدرجة الحرارة الصغرى في مصر (POWER) Dataset

قاعدة بيانات المحطات الأرصاد التقليدية 1.72، وجاءت القيم أيضاً على مستوى فصول السنة الأربع مترابطة جداً بين قاعدتي البيانات، ففي فصل الشتاء كانت قيمة الانحراف المعياري 3.27 لقاعدة بيانات (POWER) Dataset ، و 2.05 لمحطات الأرصاد التقليدية، وفي فصل الربيع بلغت قيمة الانحراف المعياري 2.5 للأولى و 2.66 للثانية، وفي فصل الصيف بلغت قيمة الانحراف المعياري 2.13 للأولى و 2.01 للثانية، وفي فصل الربيع بلغت قيمة الانحراف المعياري 2.57، و 2.66 للأولى للثانية على التوالي.

ويظهر من تطبيق معامل التباين كما في الجدول (5) أن القيم جاءت مترابطة إلى حد كبير جداً بين مصفوفتي البيانات موضوع هذا البحث؛ فعلى المستوى السنوي كانت قيمة معامل التباين لدرجات الحرارة الصغرى لقاعدة بيانات POWER حوالي 6,53، وبلغت قيمته في قاعدة بيانات محطات الأرصاد الجوية التقليدية 4,67، كما جاءت قيم معامل التباين على مستوى الفصول مترابطة، فكان أشدتها تقارباً في فصل الصيف، حيث بلغ بالنسبة لمصفوفة بيانات قاعدة (POWER) Dataset 4,52، بينما بلغت القيمة في قاعدة بيانات المحطات الأرضية 4,02، ويأتي بعده فصل الربيع؛ حيث بلغت قيمة معامل التباين به 6,75، 7,11 لقاعدتي البيانات الأولى والثانية على التوالي، ثم يليهما فصلي الخريف والشتاء.

ومن تطبيق معامل الاختلاف للتعرف على مدى دقة تطابق البيانات، نلاحظ من النتائج المسجلة بالجدول (5) أن معامل الاختلاف السنوي لدرجة الحرارة الصغرى بمصفوفتي البيانات بالقاعدتين المناخيتين موضوع هذه الدراسة؛ جاء أكثر من 10%， فقد بلغ في قاعدة بيانات (POWER) Dataset 13,64%， وفي قاعدة بيانات محطات الأرصاد التقليدية 8,4%， وعلى المستوى الفصلي، جاء فصل الصيف أقلها في قيمه وأكثرها في دقة بيانته، حيث بلغت 9,68% لقاعدة البيانات الشبكية POWER ، 9,34% لقاعدة محطات الأرصاد الجوية التقليدية، بليه فصل الخريف 11,24% للأولى و 10,67% للثانية، وجاء فصل الربيع بالمرتبة الثالثة، أما فصل الشتاء فإن معامل الاختلاف في كلا المصفوفتين قد بلغت قيمته أكثر من 17%， مما يعني أن البيانات الخاصة بدرجة الحرارة الصغرى أقل في دقة المطابقة مقارنة ببيانات الحرارة العظمى في القاعدتين.

ويتضح من الشكل (15) الذي يمثل مخطط الصندوق وطريقه Boxplot أن هناك تشابهاً كبيراً بين مصفوفتي بيانات درجات الحرارة الصغرى بكل من القاعدتين موضوع الدراسة، فعلى المستوى السنوي؛ بلغت النسبة لمتوسط مخطط الصندوق في قاعدة بيانات (POWER) Dataset على مستوى مصر 15,28°، وبلغت في قاعدة بيانات محطات الطقس التقليدية 14,96°، وبلغت قيمة الربيع الأول Q1 فيما 14,51° للأولى 14,31° للثانية، وبلغت قيمة الربيع الثالث Q3 فيما 17,56° للأولى 16,24° للثانية، وبلغت القيمة الصغرى فيما 12,38° للأولى و 12,99° للثانية، وبلغت القيمة الكبرى فيما 22,05° للأولى و 18,85° للثانية، وتوجد بقاعدتي البيانات بعض القيم الشاذة، حيث سجلت قاعدة بيانات محطات الرصد التقليدية نقطة واحدة شاذة خارج الصندوق 20,85°، بينما سجلت قاعدة بيانات (POWER) Dataset نقطتان شاذتان خارج مخطط الصندوق وهما، 22,41° و 25,02° مما يدل على أن البيانات في كل من القاعدتين تحتاج إلى بعض المراجعة، كما نستنتج أيضاً قلة دقة المطابقة بين



المصدر: من عمل الباحث، اعتماداً على بيانات الحرارة الصغرى بقاعدة البيانات المدروستين.

شكل (15) مقارنة بين معدلات الحرارة الصغرى في قاعدة بيانات POWER Dataset (Dataset) ومحطات الأرصاد الجوية المختارة باستخدام مخطط Boxplot في الفترة من 1980–2018م في مصر.

تقييم كفاءة قاعدة البيانات المناخية العالمية POWER في رصد بيانات درجة الحرارة السطحية في مصر د. هشام داود صدقى
قاعدتي البيانات المدروستين بالنسبة لدرجة الحرارة الصغرى مقارنة بدقة المطابقة بالنسبة لدرجة الحرارة العظمى.

وعلى المستوى الفصلي يبرز الشكل (15) أن فصل الربع متطابق إلى حد كبير في بيانات درجة الحرارة الصغرى بكل من قاعدتي البيانات المدروستين، فقد بلغت النسبة لمتوسط مخطط الصندوق Q2 لدرجة الحرارة العظمى في هذا الفصل في قاعدة بيانات Dataset (POWER) على مستوى مصر 8,85 م°، وبلغت في قاعدة بيانات محطات الطقس التقليدية 8,38 م°، وبلغت قيمة الربع الأول Q1 فيما 7,73 م° للأولى و 7,21 م° للثانية، وبلغت قيمة الربع الثالث Q3 فيما 11,76 م° للأولى و 10,68 م° للثانية، وبلغت القيمة الصغرى فيها 5,52 م° للأولى و 4,98 م° للثانية، وبلغت القيمة الكبرى فيها 17,15 م° للأولى و 14,15 م° للثانية، وتوجد نقطة شاذة واحدة بقاعدة البيانات Dataset (POWER) عند القيمة 20,98 م°.

بالنسبة لفصل الربع: فقد بلغت النسبة لمتوسط مخطط الصندوق Q2 لدرجة الحرارة العظمى في هذا الفصل في قاعدة بيانات POWER على مستوى مصر 13,66 م°، وبلغت في قاعدة بيانات محطات الطقس التقليدية 13,94 م°، وبلغت قيمة الربع الأول Q1 فيما 13,03 م° للأولى و 12,46 م° للثانية، وبلغت قيمة الربع الثالث Q3 فيما 15,42 م° للأولى و 15,88 م° للثانية، وبلغت القيمة الصغرى فيها 11,21 م° للأولى و 10,40 م° للثانية، وبلغت القيمة الكبرى فيها 18,78 م° للأولى و 20,15 م° للثانية، وتوجد نقطتين شاذتين بقاعدة البيانات Dataset (POWER)، واحدة عند القيمة 20,81 م°، والثانية عند القيمة 23,46 م°.

بالنسبة لفصل الصيف: فقد بلغت النسبة لمتوسط مخطط الصندوق Q2 في هذا الفصل في قاعدة بيانات Dataset (POWER) على مستوى مصر 21,33 م°، وبلغت في قاعدة بيانات محطات الطقس التقليدية 21,31 م°، وبلغت قيمة الربع الأول Q1 فيما 20,70 م° للأولى و 20 م° للثانية، وبلغت قيمة الربع الثالث Q3 فيما 22,73 م° للأولى و 22,56 م° للثانية، وبلغت القيمة الصغرى فيها 18,24 م° للأولى و 17,15 م° للثانية، وبلغت القيمة الكبرى فيها 25,24 م° للأولى و 25,93 م° للثانية، وتوجد القيم الشاذة خارج مخطط الصندوق، فهي قاعدة Dataset (POWER) توجد نقطتان شاذتان، عند القيمتان 26,98 م°، 28,82 م°، وفي قاعدة بيانات محطات الأرصاد التقليدية بقطة واحدة، عند القيمة 26,93 م°.

فصل الخريف أيضاً تتشابه مصفوفتي بيانات الحرارة الصغرى بكل من القاعدتين المدروستين، فقد بلغت النسبة لمتوسط مخطط الصندوق Q2 في هذا الفصل في قاعدة بيانات Dataset (POWER) على مستوى مصر 17,54 م°، وبلغت في قاعدة بيانات محطات الطقس التقليدية 16,74 م°، وبلغت قيمة الربع الأول Q1 فيما 16,59 م° للأولى و 15,75 م° للثانية، وبلغت قيمة الربع الثالث Q3 فيما 20,03 م° للأولى و 18,70 م° للثانية، وبلغت القيمة الصغرى فيها 14,57 م° للأولى و 12,89 م° للثانية، وبلغت القيمة الكبرى فيها 24,27 م° للأولى و 22,40 م° للثانية، وتوجد قيمة واحدة شاذة بقاعدة بيانات Dataset (POWER) تتمرکز حول درجة الحرارة الصغرى 26,81 م°.

6 - 3 - تقييم كفاءة المدى الحراري.

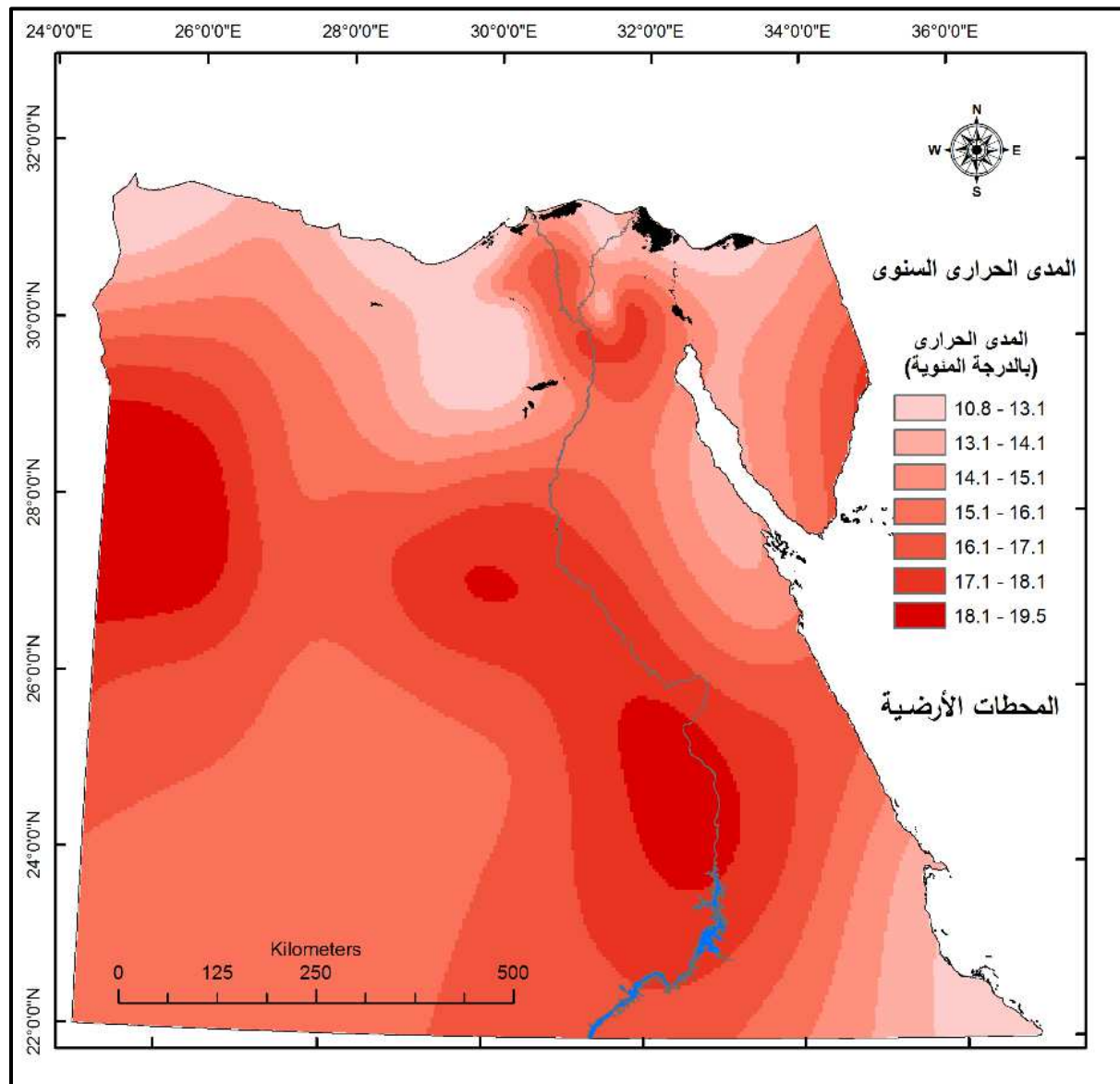
يوضح الشكلين (16) و (17) توزيع معدلات المدى الحراري السنوي في محطات الأرصاد الجوية التقليدية وقاعدة البيانات المناخية Dataset (POWER) في مصر، ويلاحظ أن قيم المدى الحراري السنوي تصل إلى أقصاها في كل من الخريطتين في الأجزاء الوسطى من مصر في حزام عرضي يمتد في الصحراء الشرقية والغربية؛ إن كان أكثر وضوحاً على سواحل البحر الأحمر بالنسبة لقاعدة البيانات Dataset (POWER)، ويختلف الشكلان في بعض التفاصيل، ففي الأولى يمتد خط التساوي $10,8^{\circ}\text{C}$: $13,1^{\circ}\text{C}$ في منطقة غرب الدلتا نحو الجنوب ليضم كلا من الإسكندرية والحمام والعلمين والأجزاء الشرقية من منخفض القطار، ويمتد جنوباً حتى شمال منخفض الفيوم، بينما يقتصر امتداد نفس الخط في قاعدة البيانات Dataset (POWER) الخاصة بالمدى الحراري السنوي بكل من القاعدتين موضوع المقارنة؛ بلغت النسبة لمتوسط مخطط الصندوق في قاعدة بيانات Dataset (POWER) علي مستوى مصر $16,10^{\circ}\text{C}$ ، وبلغت في قاعدة بيانات

على السواحل الشمالية حتى جنوب الإسكندرية وبقى المدن الساحلية. ويختلف الشكلان في أقصى جنوب شرق مصر، حيث تسجل منطقة مثلث حلايب مدي حراري سنوي قليل بالشكل (16) وذلك علي اختلاف مع قاعدة بيانات Dataset (POWER) التي سجلت معدلات مرتفعة.

يعرض الشكل (18) بيانيًّاً لعلاقة الارتباط السنوي لمصفوفتي بيانات درجة الحرارة الصغرى بكل من قاعدة البيانات موضوع المقارنة في هذا البحث، ويظهر منه وجود علاقة ارتباطية موجبة فوق المتوسطة وذات دلالة إحصائية بين مصفوفتي بيانات المدى الحراري السنوي بكل من قاعدة البيانات المدروستين؛ فقد بلغت العلاقة الارتباطية السنوية بينهما $0,59$ ، ومعامل التحديد (R^2) بلغت قيمته $0,6$ ، ويدل ذلك علي دقة المطابقة ودرجة المصداقية لبيانات المتعلقة المدى الحراري السنوي المستخرجة من قاعدة البيانات الشبكية العالمية Dataset (POWER) وقربها من قيم بيانات المدى الحراري السنوي المستخرجة من السجلات المناخية لمحطات الأرصاد الجوية التقليدية.

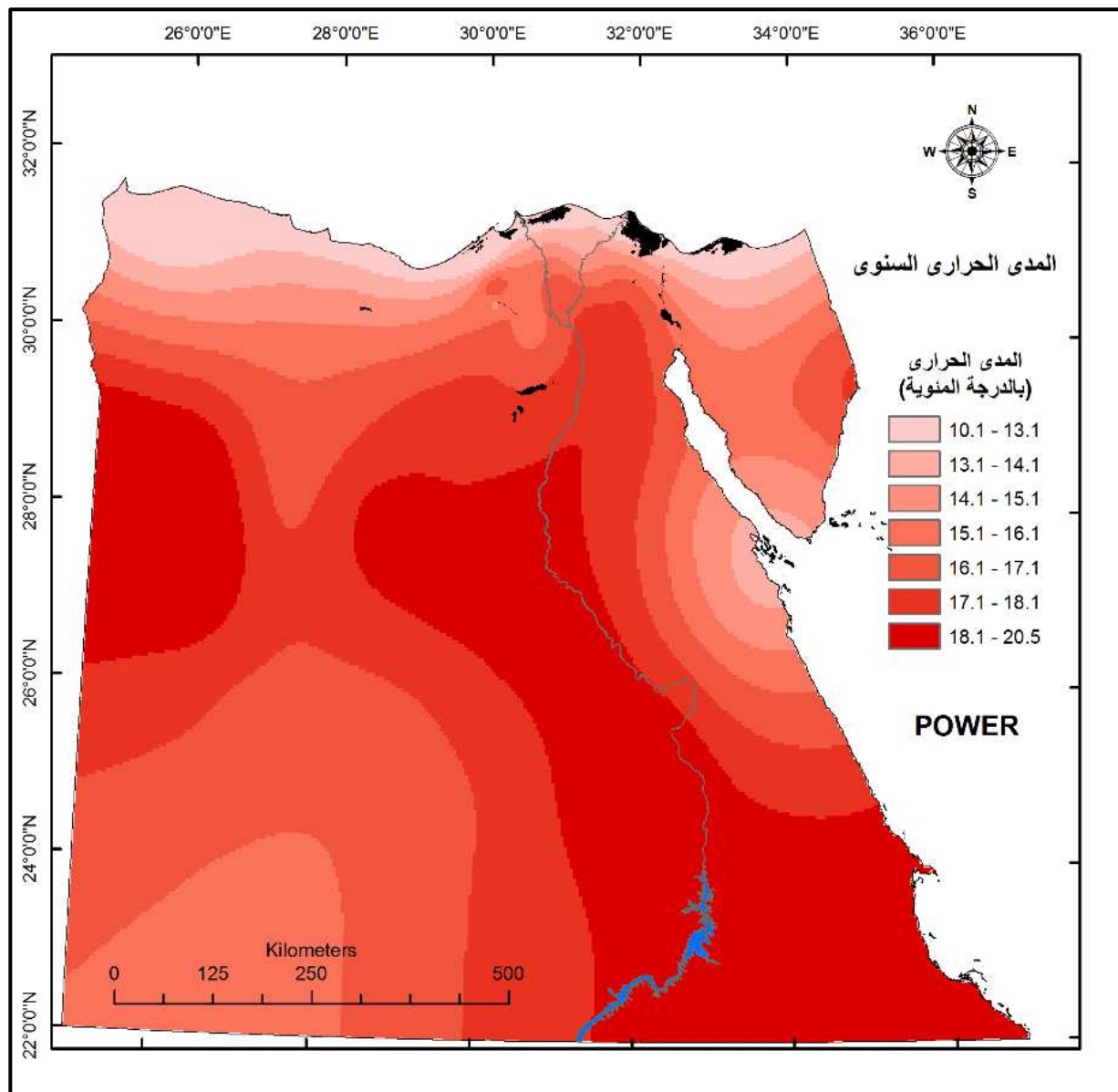
ويتضح من الشكل (19) مخطط الصندوق وطرفيه Boxplot أن هناك تشابهًا بين مصفوفتي البيانات محطات الطقس التقليدية $14,63^{\circ}\text{C}$ ، وبلغت قيمة الربيع الأول $Q1$ فيما $12,82^{\circ}\text{C}$ للأولى و $13,41^{\circ}\text{C}$ للثانية، وبلغت قيمة الربيع الثالث $Q3$ فيما $17,35^{\circ}\text{C}$ للأولى و $16,17^{\circ}\text{C}$ للثانية، وبلغت القيمة الصغرى فيما $10,58^{\circ}\text{C}$ للأولى و $11,44^{\circ}\text{C}$ للثانية، وبلغت القيمة الكبرى فيما $18,98^{\circ}\text{C}$ للأولى و $18,51^{\circ}\text{C}$ للثانية، وتخلو قاعدة البيانات تماماً من وجود القيم الشاذة، مما يدل على سلامة البيانات ودقة مطابقتها وصلاحيتها للاعتماد عليها.

ويوضح الشكل (20) أن هناك دقة في المطابقة وتشابه بين نوعي البيانات موضوع المقارنة في هذا البحث؛ ومن أمثلة المحطات التي يظهر بها دقة مطابقة عالية، محطة المنصورة، وبور سعيد، والاسماعيلية، وأسوان، والداخلة، والسلوم، طابا، الغردقة، رأس بناس. وعلى الجانب الآخر رصدت فوارق كبيرة نسبياً بين نوعي البيانات محل المقارنة في بعض المحطات، ومن أهمها: وادي النطرون، وأنشاص، وحلوان،



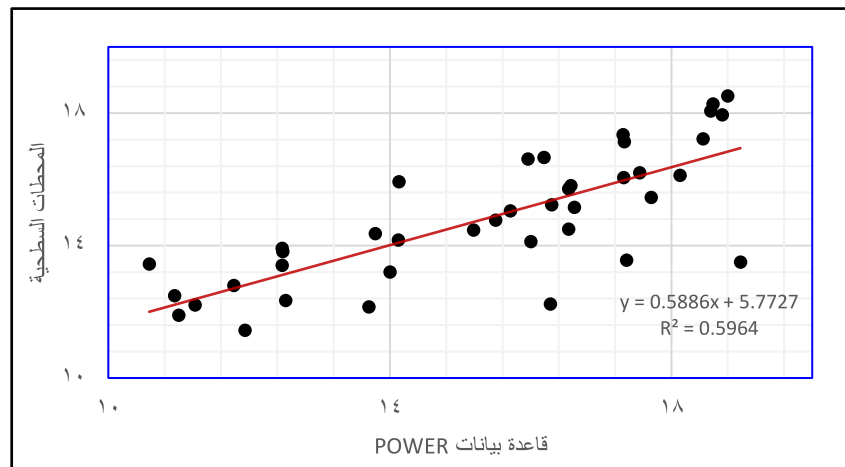
المصدر: من عمل الباحث اعتماداً على بيانات الدراسة.

شكل (16) توزيع معدلات المدى الحراري السنوي طبقاً لبيانات محطات الأرصاد الأرضية في مصر في الفترة (1981-2018م).



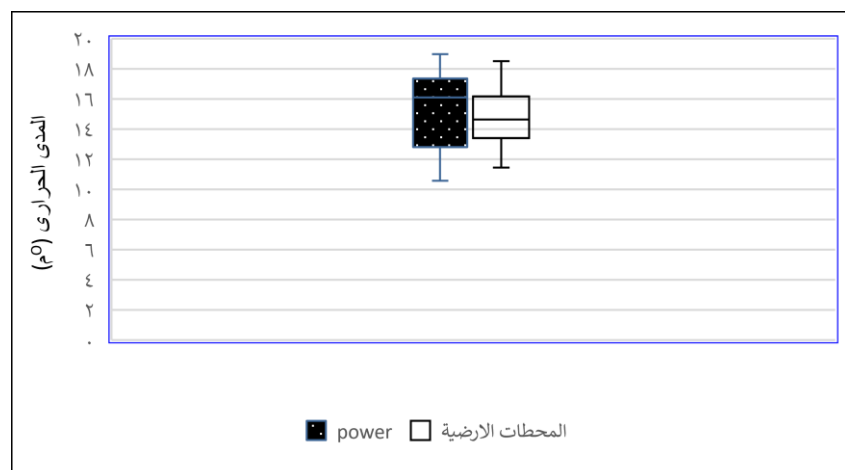
المصدر: من عمل الباحث اعتماداً على بيانات الدراسة.

شكل (17) توزيع معدلات المدى الحراري السنوي طبقاً لبيانات نقاط مختارة بقاعدة البيانات شكل (17) توزيع معدلات المدى الحراري السنوي طبقاً لبيانات نقاط مختارة بقاعدة البيانات (POWER) Dataset في مصر في الفترة (1981-2018م).



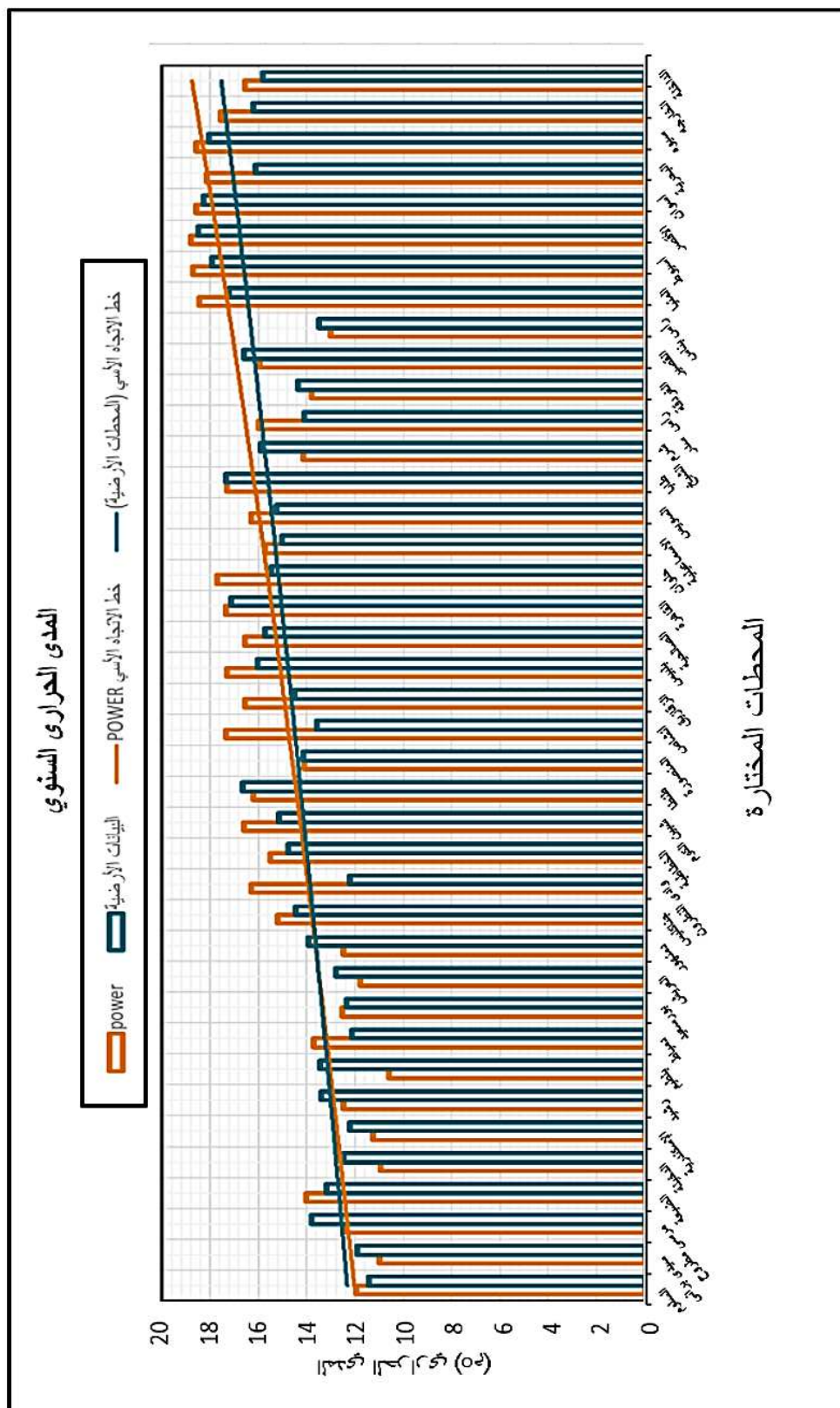
المصدر: من عمل الباحث، اعتماداً على بيانات درجة حرارة ينابير ويوليو بالمحطات المختارة.

شكل (18) مقارنة بين معدلات المدى الحراري السنوي في قاعدة بيانات POWER ومحطات الأرصاد المختارة باستخدام معامل الارتباط في مصر.



المصدر: من عمل الباحث، اعتماداً على بيانات درجة حرارة ينابير ويوليو بالمحطات المختارة.

شكل (19) مقارنة بين معدلات المدى الحراري السنوي في قاعدة بيانات POWER ومحطات الأرصاد الجوية المختارة باستخدام مخطط Boxplot في مصر.



المصدر: من عمل الباحث اعتماداً على بيانات المدى الحراري.

شكل (20) منحنى بياني بسيط للمقارنة بين معدلات المدى الحراري السنوي في قاعدة بيانات (POWER) Dataset ومحطات الأرصاد الجوية المختارة في الفترة من 1981–2018م في مصر.

تقييم كفاءة قاعدة البيانات المناخية العالمية POWER في رصد بيانات درجة الحرارة السطحية في مصر د. هشام داود صدقى
ورأس سدر، أما عن المقارنة بين خط الاتجاه الأسي لكل من نوعي البيانات محل المقارنة؛ فقد سجل قيمة أكبر بين نقطتي البداية والنهاية بالنسبة لقاعدة البيانات الشبكية مقارنة بقاعدة البيانات المناخية لمحطات الأرصاد الجوية التقليدية.

7 - الخاتمة

- استهدفت هذه الدراسة تقييم الكفاءة ودقة المطابقة لقاعدة البيانات (POWER) Dataset من خلال المقارنة بين بيانات درجة الحرارة السطحية المتاحة على موقعها على شبكة المعلومات الدولية وبين بيانات درجة الحرارة السطحية في السجلات المناخية الخاصة بمحطات الرصد الجوي التقليدية في مصر، وقد اعتمدت الدراسة على بيانات 40 محطة رصد تقليدية؛ للحصول على المعدلات الشهرية لدرجات الحرارة العظمى والصغرى خلال الفترة (1981 – 2018)، وبيانات درجات الحرارة العظمى والصغرى لعدد 40 نقطة مختارة من قاعدة بيانات POWER تحمل نفس الإحداثيات والفترة الزمنية لمحطات الرصد التقليدية المختارة وذلك حرصاً على دقة المقارنة بين مصروفتي البيانات لتحديد دقة المطابقة ودرجة الثقة بينهما.
- أن قاعدة البيانات الشبكية Prediction Of Worldwide Energy Resources هي إحدى قواعد البيانات المناخية الشبكية العالمية التي تتيح توفير بيانات مناخية يومية لكل العناصر المناخية ومشتقاتها، وهي أحد المشروعات التابعة لوكالة ناسا لعلوم الفضاء NASA، تبلغ دقتها المكانية (0,5 دائرة عرض × 0,5 خط طول)، وقد بدأ المشروع في عام 2003م اعتماداً على الدمج بين التنبؤات وبيانات محطات الأرصاد الجوية والاستشعار عن بعد، بالإضافة إلى البيانات المستمدة من أجهزة الرادار السطحية والأقمار الصناعية؛ فيما يعرف بتحليلات الدمج.
- تبلغ الدقة الزمانية لبيانات قاعدة power ثلات ساعات، ويتم الاعتماد عليها في الحصول على المتوسطات اليومية والشهرية لكل عنصر مناخى وبيانات عناصر الطقس.
- خلصت هذه الدراسة إلى وجود تشابه ودقة في المطابقة بين قاعدتي البيانات المدروستين، وقد ظهر ذلك من خلال تطبيق عدد من الأساليب الكارتوجرافية والإحصائية؛ مثل: خرائط خطوط الحرارة المتساوية Isotherm maps، ومعامل ارتباط سبيرمان Spearman's rho، والانحراف المعياري Coefficient of variation، ومعامل الاختلاف Trend detection deviation ، ومعامل التباين Coefficient of variance .
- اتضح التشابه في قيم درجة الحرارة العظمى بين قاعدتي البيانات محل الدراسة من خلال تطبيق أحد معايير التشتت؛ المعروف بـ " مخطط الصندوق وظرفه Boxplot " على المستوى الفصلي والسنوي، وقد أظهر أن هناك تشابهاً يقترب من التمايز بين مصروفتي البيانات وخلوها جميعاً من الشذوذ الحراري عدا فصل الشتاء.

تقييم كفاءة قاعدة البيانات المناخية العالمية POWER في رصد بيانات درجة الحرارة السطحية في مصر د. هشام داود صدقى

- خلصت الدراسة إلى تشابه درجة الحرارة الصغرى في قاعدتي البيانات المدروستين، وقد ظهر ذلك من خلال خرائط توزيع خطوط الحرارة المتساوية Isotherm maps لدرجات الحرارة الصغرى على المستوى السنوي والفصلي، إلا أن دقة المطابقة أقل مما هي عليه بالنسبة لدرجة الحرارة العظمى.

- وقد توصلت الدراسة إلى دقة المطابقة بالنسبة لدرجة الحرارة الصغرى من خلال تطبيق عدد من الأساليب والإحصائية؛ مثل: معامل ارتباط سبيرمان، والانحراف المعياري، واختبار تحديد الاتجاه، ومعامل الاختلاف، ومعامل التباين، إلا أن دقة المطابقة أقل مما هي عليه بالنسبة لدرجة الحرارة العظمى.

- اتضح من الدراسة التشابه في قيم درجة الحرارة الصغرى بين قاعدتي البيانات محل الدراسة من خلال تطبيق أحد معايير التشتت؛ المعروف بـ "مخطط الصندوق وطرفيه Boxplot" على المستوى الفصلي والسنوي، وإن كان هناك عدد من القيم الدالة على الشذوذ الحراري على المستوى الفصلي والسنوي، مما يعني أن هناك أخطاء في مصفوفتي البيانات يجب تعديلها وتحديث البيانات بصفة مستمرة لتحقيق مزيد من دقة المطابقة.

- اتضح من تقييم كفاءة المدى الحراري السنوي ورصد دقة المطابقة بين قاعدتي البيانات موضوع الدراسة، وأن هناك تشابه بينهما، وذلك من خلال تطبيق عدة اختبارات إحصائية والمعالجة الكارتوغرافية.

8 - التوصيات.

- إمكانية الاعتماد على بيانات درجة الحرارة السطحية التي توفرها قاعدة البيانات الشبكية Prediction Of Worldwide Energy Resources في الدراسات المتعلقة بالمناخ وسائر علوم الغلاف الجوي.

- توصي الدراسة بإجراء مزيد من الدراسات التقنية لتطوير قاعدة البيانات المدروسة.

- تطوير النماذج المناخية الإقليمية Regional climate modeling عالية الدقة المعتمدة على الدمج بين مختلف مصادر البيانات المناخية.

- ضرورة إجراء دراسات تقييمه أخرى لرصد وقياس التشابه والتواافق بين بيانات هذه القاعدة الشبكية العالمية بالنسبة لعناصر المناخ الأخرى مثل المطر والضغط الجوي وسرعة الرياح واتجاهها، من خلال مقارنة السجلات المناخية الخاصة بهذه العناصر بمحطات الأرصاد الجوية على مستوى مصر أو على مستوى نطاقات إقليمية أكثر اتساعاً.

- العمل على زيادة الدقة المكانية لقاعدة البيانات Prediction Of Worldwide Energy Resources لتصل إلى $0,25 \times 0,25$ دائرة عرض خط طول)، لإمكان الاستفادة منها في الدراسات التي تحتاج لدقة عالية؛ مثل الدراسات المتعلقة بالتغيرات المناخية واتجاهاتها.

- ضرورة التحديث المستمر لقاعدة بيانات POWER اعتماداً على صور الأقمار الصناعية عالية الدقة

تقييم كفاءة قاعدة البيانات المناخية العالمية POWER في رصد بيانات درجة الحرارة السطحية في مصر د. هشام داود صدقى
والنمذجة لتلافي الأخطاء بشكل مستمر ، مما يجعلها ذات أهمية للعديد من التخصصات، التي تشمل الزراعة وتحطيم الموارد المائية، وتقييمات الأضرار الناجمة عن الفيضانات والسيول، الدراسات المتعلقة بانتشار الأمراض، ورصد حرائق الغابات، واتجاهات تغير المناخ .. وغيرها.

- توصي الدراسة بقيام الهيئة العامة للأرصاد الجوية المصرية بالتعاون مع أقسام الأرصاد الجوية وأقسام الجغرافية وبيوت الخبرة المتخصصة في مصر؛ من أجل إنشاء قاعدة بيانات مناخية شبكية Gridded climate dataset ذات دقة زمانية ومكانية عالية تعتمد على السجلات المناخية طويلة الأمد الخاصة بمحطات الأرصاد الجوية المنتشرة على الأراضي المصرية، على أن يتم تحديثها بشكل مستمر، وتخصيص موقع على شبكة المعلومات الدولية لهذه القاعدة؛ مع إتاحة البيانات مجاناً للباحثين والدارسين لتعظيم الاستفادة.

المراجع والمصادر باللغة العربية:

- المعلوماتية الحيوية بالعربية، 2014، بعض المبادئ الاحصائية في تحليل البيانات، علي الرابط التالي:
<http://www.bioinfo4arabs.com/%d9%85%d9%82%d8%a7%d9%84-%d8%b9%d8%a7%d9%85/125/>
- السجلات المناخية للمحطات المختارة، الفترة من (1981 – 2018)، التقارير الشهرية التفصيلية، الهيئة المصرية للأرصاد الجوية، القاهرة.
- بيانات المعدلات الشهرية لدرجتي الحرارة العظمي والصغرى لعدد (40) نقطة مختار، قاعدة البيانات الشبكية العالمية Prediction Of Worldwide Energy Resources، ناسا، الفترة من 1981 – 2018، على الرابط التالي: <https://power.larc.nasa.gov/data-access-viewer/>
- فتحي عبد العزيز أبو راضي، 2000م، مقدمة الأساليب الكمية في الجغرافيا، دار المعرفة الجامعية، الإسكندرية، مصر.
- محمد محمد عبد العال، 2018، تقييم كفاءة بعض قواعد بيانات الأمطار الشبكية العالمية في مصر، الجمعية الجغرافية الكويتية، وحدة البحث والترجمة، 2018م.

المراجع والمصادر باللغة الانجليزية:

- Ahmed M EL Kenawy, Matthew F McCabe, 2016, A multi-decadal assessment of the performance of gauge- and model-based rainfall products over Saudi Arabia: Climatology, anomalies and trends, DOI - 10.1002/joc.4374, International Journal of Climatology, PP. 656-674
- Bo-Hui Tang, Kun Shao, Zhao-Liang Li, Hua Wu, Françoise Nerry, and Guoqing Zhou, (2015), Estimation and Validation of Land Surface Temperatures from Chinese Second-Generation Polar-Orbit FY-3A VIRR Data, Remote Sens. 2015, 7, 3250-3273; doi:10.3390/rs70303250.
- Chukwuka Friday Agbor and Esther Oluwa Funmilayo Makinde, (2018), Land Surface Temperature Mapping Using Geoinformation Techniques, Geoinformatics FCE CTU Vol 17(1), 2018, doi:10.14311/gi.17.1.2
- David J. Mildrexler, Maosheng Zhao, and Steven W. Running, (2011), A global

comparison between station air temperatures and MODIS land surface temperatures reveals the cooling role of forests, JOURNAL OF GEOPHYSICAL RESEARCH, VOL. 116, G03025, doi:10.1029/2010JG001486.

- D. Skoković¹, J.A. Sobrino¹, J.C. Jimenez-Munoz¹, G. Soria¹, Y. Julien¹, C. Mattar² and Jordi Cristobal³, (2014), Calibration and Validation of land surface temperature for Landsat8-TIRS sensor LPVE (Land Product Validation and Evolution, ESA/ ESRIN Frascati (Italy). January 28-30, 2014.
- Glynn C. Hulley, Christopher G. Hughes, and Simon J. Hook, (2018), Quantifying uncertainties in land surface temperature and emissivity retrievals from ASTER and MODIS thermal infrared data, American Geophysical Union, JOURNAL OF GEOPHYSICAL RESEARCH, VOL. 117, D23113, doi: 10.1029/2018JD018506.
- Guillevic, P., Götsche, F., Nickson, J., Hulley, G., Ghent, D., Yu, Y., Trigo, I., Hook, S., Sobrino, J.A., Remedios, J., Román, M. & Camacho, F. (2017). Land Surface Temperature Product Validation Best Practice Protocol. Version1.0.
- Marcel Urban, Jonas Eberle, Christian Hüttich, Christiane Stimulus and Martin Herold., (2013), Comparison of Satellite-Derived Land Surface Temperature and Air Temperature from Meteorological Stations on the Pan-Arctic Scale, Remote Sens. 2013, 5, 2348-2367; doi:10.3390/rs5052348.
- Maria Martin, Darren Ghent, Ana C. Pires, Frank-Michael Götsche, Jan Cermak, and John J. Remedios, (2019), Geophysical Research Abstracts Vol. 21, EGU2019-13990-1, EGU General Assembly 2019 © Author(s) 2019. CC Attribution 4.0 license.
- Maria Anna Martin, Darren Ghent, Ana Cordeiro Pires, Frank-Michael Götsche , Jan Cermak 1,4 and John J. Remedios , (2019), Article Comprehensive In Situ Validation of Five Satellite Land Surface Temperature Data Sets over Multiple Stations and Years, Remote Sens, (2019), Geophysical Research Abstracts Vol. 21, EGU General Assembly 2019 © Author(s) 2019. CC Attribution 4.0 license; doi:10.3390/rs11050479.

- Mohamed E, Hereher, (2016), Time series rends of land surface temperatures in Egypt: a signal for global warming environ earth sci (2016) 75:1218 © springer-Verlag berlin, Heidelberg, doi 10-1007/s12665-016-6024-4.
- Nicholas C. Coops, Dennis C. Duro, Michael A. Wulder, and Tian Han, (2007), Estimating Afternoon MODIS Land Surface Temperatures (LST) Based On Morning MODIS Overpass, Location, And Elevation Information, International Journal of Remote Sensing 28(10):2391-2396 · May 2007 with 96 Reads DOI: 10.1080/01431160701294653.
- Paul W. Stackhouse, et al. (2018), POWER Release 8.0.1 (with GIS Applications) Methodology (Data Parameters, Sources, & Validation) Documentation Date, NASA Langley Research Center; 2SSAI/NASA Langley Research Center; Booz Allen Hamilton, Norfolk, VA.
- P. Dash, F.S. Olesen and A.j. Prata, (2004), Optimal land surface temperature validation site in Europe for MSG, Proceedings of EUMETSAT Meteorological Satellite Conference, Prague 31, 41.
- P. Guillevic, F. Götsche, J. Nickson & M. Román (Eds.), Best Practice for Satellite-Derived Land Product Validation (p. 60): Land Product Validation Subgroup (WGCV/CEOS), doi:10.5067/doc/ceoswgcv/lpv/lst.001.
- Sheffield J., et al. (2006) Development of a 50-Year High- Resolution Global Dataset of Meteorological Forcings for Land Surface Modeling, Journal of Climate, Volume 19.

An assessment of the accuracy of POWER global gridded climate dataset in reproducing surface air temperature in Egypt.

Dr. Hesham Dawood Sedkey Badawy

Lecturer in Physical Geography, Department of Geography
Faculty of Arts, Damietta University, Damietta, Egypt.

Hesham-badawy@du.edu.eg

Abstract

This study assesses the accuracy of the Prediction Of Worldwide Energy Resources (POWER) dataset, provided by NASA at a grid interval of 0.5° and a temporal resolution of 3 hours. This assessment is based mainly on comparing the outputs of POWER for air temperature data with gauged data from 40 meteorological stations spanning the period between 1981 and 2018. A point to grid comparison was made at the seasonal and annual scales using an array of statistical measures (e.g. Spearman's rho, standard deviation, coefficient of variation, and trend detection) and cartographic methods (e.g. isotherm maps) that assessed the agreement between the observed and gridded data for maximum and minimum air temperatures. Results indicate a good agreement between in situ and POWER datasets, particularly for maximum air temperature as compared to minimum air temperature. Apart from the eastern portions of Egypt, the climatologies and trends of air temperature coincide with those of POWER dataset. Overall, results suggest that POWER can be a unique supplementary data source for meteorological stations in Egypt. This aspect is important, given the uneven distribution of meteorological stations in Egypt over space and time.

Key-words: Surface air temperature, validation, gridded datasets, POWER, Egypt.